

A-Umlaufplanung
Mikroökonomie

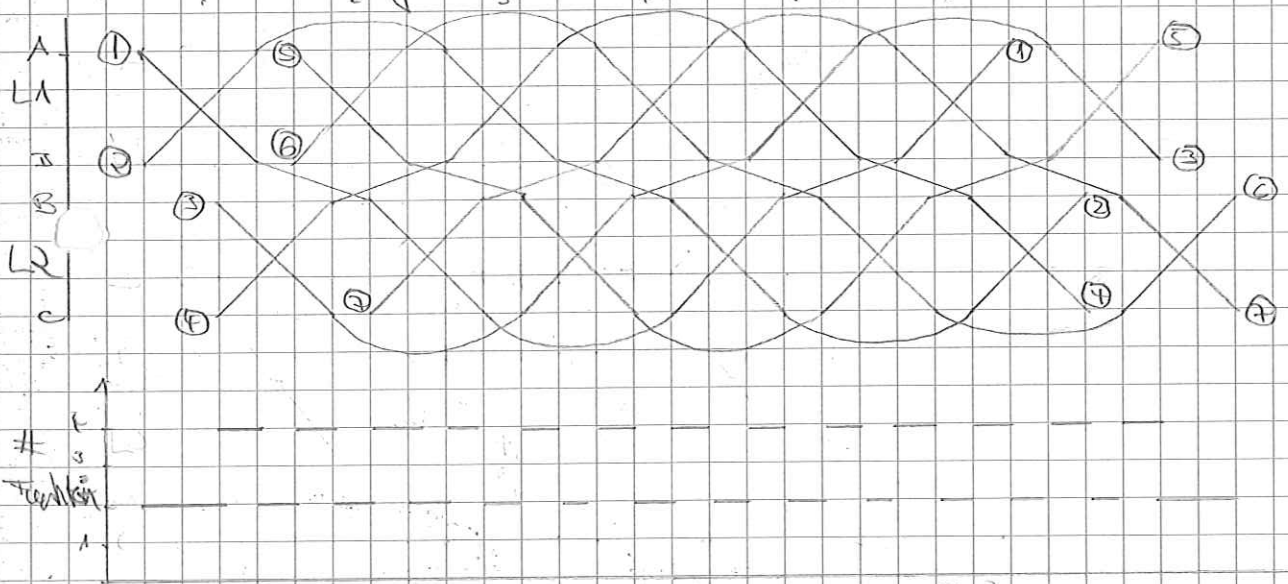
Motivation: Fahrzeugkosten machen etwa 20-25% der operativen

Kosten eines Nahverkehrsunternehmens aus:

Kosten	Städt.		Regional	
	DK	%	DK	%
Abschreibung	35.400	7,4	30.000	10,7
Bank. Zins	15.300	3,2	12.900	4,5
Materialien	14.000	2,8	10.000	3,5
Treibstoff	22.200	4,7	18.000	6,2
Instandhaltung	5.000	1,0	5.000	1,7
Fahrer	91.900	19,3	75.900	26,3
Fahrer	318.600	73,5	195.000	67,5
Sonstiges	34.000	7,2	18.000	6,2
Summe	475.500	100,0	288.800	100,0

Idee: Bei der Umlaufplanung geht es darum,

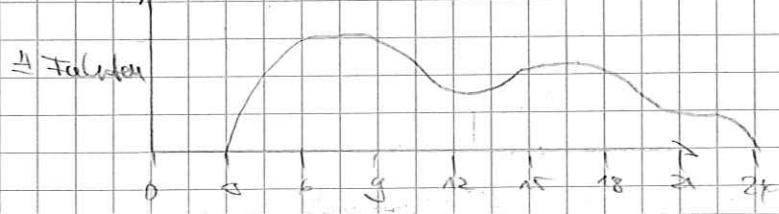
a) die richtigen Kurvenverlauf zu finden



"kürzere Wege nicht möglich"

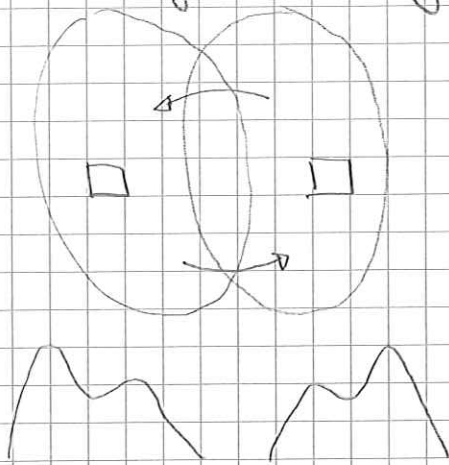
Fz bedarf eine Kurvenverlauf: 8
 " mit " : 7

b) den Fz bedarf in der Spitze möglichst klein zu halten



"Taktverkehr"

c) die wichtige Zuordnung von Faktoren zu Teilordnungen zu finden.



Beob. (letzte Skizze):

$$\max_{t \in T} \# \text{Faktor} (t) \leq \text{min} \# \text{Faktor} \text{Zuge}$$

Diese Skizze ist, wie Bsp. a) zeigt, i.d. nicht sinnvoll

2. Zuordnungsmethode

Idee: Stelle in der Faktoransicht eine Faktoranzahl-Zuordnung von „Nachfolge-faktoren“ her.

Alg. (Zuordnungsmethode)

Input: Menge von Faktorintervallen F (mit Vorzeichen)

Start- und Endzeit $s_f, t_f, f \in F$

Zeitintervall $I = [a, b]$

Output: Menge von Faktoren in F

1. $D \leftarrow \{ f \in F : a \leq s_f \leq t_f \leq b \}$

$F \leftarrow F \setminus D$

2. $C \leftarrow \{ f \in F : s_f \leq a \leq b \leq t_f \}$

$F \leftarrow F \setminus C$

3. $D_A \leftarrow$ irgendeine Teilmenge von D

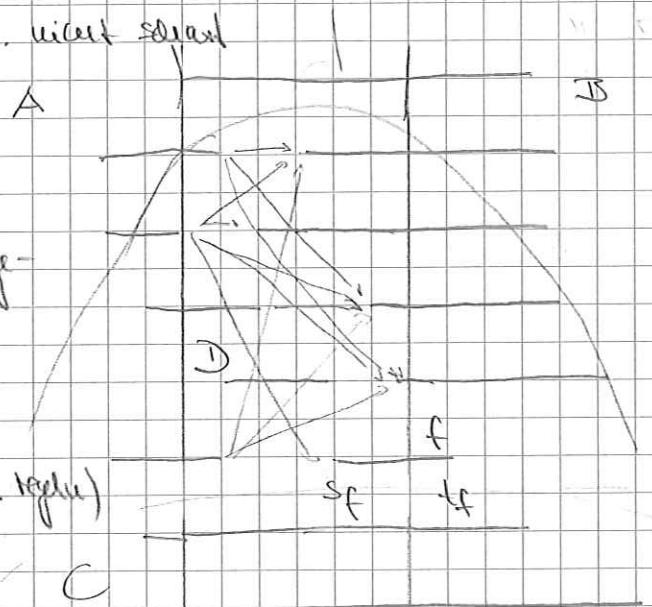
$D_B \leftarrow D \setminus D_A$

4. $A \leftarrow \{ f \in F : t_f \leq b \} \cup D_A$

$B \leftarrow \{ f \in F : a \leq s_f \} \cup D_B$

5. $E \leftarrow \{ fg \in A \times B, g \text{ kann auf } f \text{ folgen} \}$

$G \leftarrow (A \cup B, E)$



"in I enthaltenen Faktoren"

"Faktoren, die I enthalten"

"teile C auf A und B"

"in I hinein Faktoren"

"aus I heraus Faktoren"

"bipartiter Zuordnungsgraph" (2)

6. $M \leftarrow \text{max. Matching in } G$

$A' \leftarrow \{ f \in A : \exists g : fg \in M \}$

$B' \leftarrow \{ g \in B : \exists f : fg \in M \}$

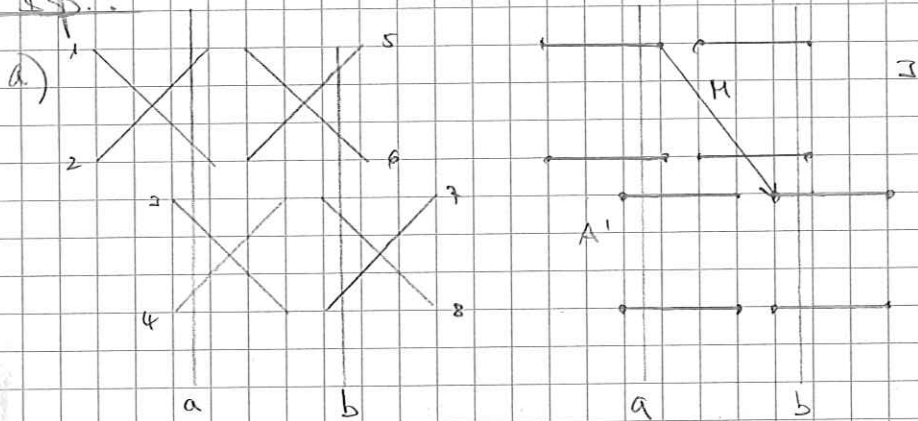
7. Geib A', B', M, C aus, den Fzg bed. ist $|A'| - |B'|$.

Prop.: Sei $[s_f, t_f] \cap [a, b] \neq \emptyset \forall f \in F(*)$. Dann ist $|A'| - |B'|$ eine
 untere Schranke für den Fzgebendart in Γ .

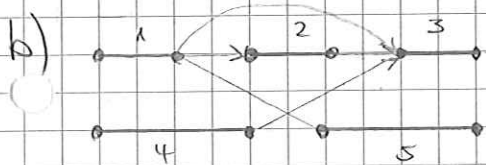
Bew.: $(*) \Rightarrow \begin{cases} D = \emptyset \\ s_f \leq a \leq t_f \forall f \in A \\ s_f \leq b \leq t_f \forall f \in B. \end{cases}$

Der Fzgebendart ist $|C| + |A'| + |B'| - |M| = |A'| - |B'|. \square$

Bsp.:

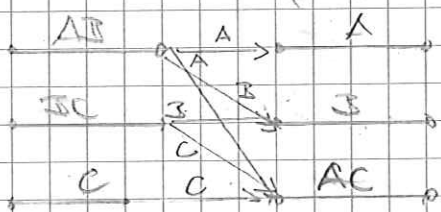


Zuordnungsverfahren findet
 mit geeignetem Intervall
 Γ den min. Fzgebendart.



Wegen $|A'| - |B'| \leq 5 - 2 = 3$ liefert die Zuordnungs-Verfahren wie
 das min Fzgebendart.

Bew. a) Zwei geeignete Γ von beidseitigen können mit der Zuordnungs-
 Methode auch Fzgebendart behandelt werden:



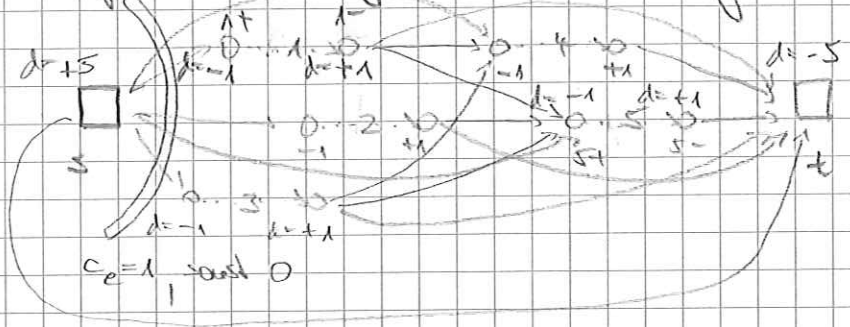
b) Die Zuordnungs-Verfahren lösen die nicht-erfolgreiche Methode zur Lösung
 großer Umlaufplanungsprobleme. Sie wurde in dem Kalbergs-Journal (3)

in dem System HOI auf graphenmechanisch umgesetzt.

c) Dieser Def. von P ist da F ein $H \pm W_g$, wobei H sehr groß ist, und Berechnung eines gerichteten H können da F Zeit und Speicher von nicht praktikabel planiert werden.

3. Min-Dipol-Netzplanplanung

Idee: Graphische Planung durch Berechnung eines minimalen "Zugflusses".



zyklischer Digraph

Alg (Min-Dipol-Netzplan)

Input: Menge F von Folgeknotenpaaren mit Start- und Endzeitpunkt $s_f, t_f \in \mathbb{R}, t_f < s_f$

Menge $M \subseteq F \times F, t_f \leq s_g + \tau_{fg} \in M$ mögliche Folgeknotenpaare

Output: Menge K von disjunkten Folgeknotenpaaren (all. $t_f < s_g$ von Folger und Vorher, Start und Ende nicht $t_f = s_g$), die alle Folger enthalten, mit maximaler Parallelität.

1. $F^+ \leftarrow \{f^+, f \in F\}, F^- \leftarrow \{f^-, f \in F\}$

$V \leftarrow \{s, t\} \cup F^+ \cup F^-$

$A \leftarrow s \times F^+ \cup t \times F^- \cup \{f^+ : f \in M\} \cup \{f^-\}$

$D \leftarrow (V, A)$

$c_{uv} \leftarrow \begin{cases} 1 & uv = sf^+ \\ 0 & \text{sonst} \end{cases}$

$d_v \leftarrow \begin{cases} |F^+| & v = s \\ -|F^-| & v = t \\ 1 & v = f^+ \\ -1 & v = f^- \end{cases}$

2. $x \leftarrow$ ^{optimal} ein Cost flow in D bzgl. Bedarf d und Kosten c

3. $P \leftarrow$ Pfadnet. von x

4. $x_p \leftarrow (f_1, f_2) \forall p = (s, f_1, f_2, t) \in P$

5. $K \leftarrow \{x_p : p \in P\}$
 gib K aus.

3.20: a) Menge $S_f \subseteq E_f$ $f \in F$ und $t_f \in S_g$ $g \in H$ ist D zulässig.

b) $|K| = | \{ g \in F : \exists f \in F, \exists t : f \bar{g}^t \in p \} |$ "Funktionsverknüpfung"

Das Knickpot-Verknüpfungproblem kann deshalb auch als ^{bipartiten} Zuordnungsproblem in einem bipartiten Graphen gelöst werden;

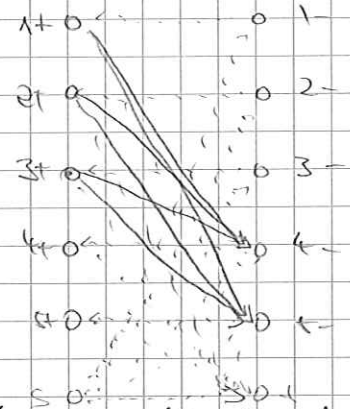
$$U = F \cup F^+$$

$$E = \{ f \bar{g}^t : f, g \in M \}$$

$$G = (U, E)$$

$\gamma \leftarrow$ max. Matching in G

$$K \leftarrow \{ (f_1, \dots, f_k) \text{ max. Wert } f_i \bar{f}_{i+1} \in \gamma \}$$



Die Knickpot-Flussplanung steht in diesem Sinne im Einklang mit der Zuordnungsweise der.

~~02.01.07~~
13

3.3 Knickpotplanung

Idee: Schaubildung von Fahrzeugen durch Typographen auf Träger als Mengentransport.

Prob. (Knickpotplanungsproblem, VSP)

geg. Menge T : von Fahrzeugtypen (eindeutig)

Träger $u^d \in \mathbb{N}_0 \quad \forall d \in T$

Menge V von Fahrzeugtypen mit Start- und Endzeit $s_f, t_f \in \mathbb{R}, s_f < t_f$,
dabei sind zwei "künstliche" Punkte $s^* < t^*$ mit $t_s < \min_{f \in S} s_f$ und $\max_{f \in T} t_f < s_t$.

Menge $A \subseteq V \times V$ von Fahrzeugtypen mit $t_u \leq s_v \quad \forall u, v \in A$

Typograph $T_a \subseteq T \quad \forall a \in A$

Träger $c_a^d \in \mathbb{N}_0 \quad \forall a \in A, d \in T_a$

Def.: Planunggraph $D = (V, A)$

Typograph $D^d = (V, A^d), \quad A^d = \{ a \in A : d \in T_a \}$

Wendepunkt p vom Typ $d :=$ st-Pfad in D^d

Menge P^d aller Wendepunkte vom Typ d

Menge $\mathcal{P} = \bigcup P^d$ aller Wendepunkte (Zusatz: zu einem Knoten gibt es kein Pfad!)

Wendepunktkosten $c_p = \sum_{a \in P^d} c_a^d$

Wendepunktplan (Kosten) $(i \in \mathcal{P} : p, q \text{ benachbart bzgl. } V \setminus \{s, t\}, \text{ überdeckt } V \setminus \{s, t\})$
 $c_u = \sum_{p \in \mathcal{P}} c_p$ $(\bigcup P^d \subseteq u^d \quad \forall d \in T)$ (5)

lgs.: Umlaufplan mit min. Kosten.

Bem.: a) D ist 0 -regulär.

b) Jeder geeignete Pol. von Vorküpfungen und Kosten kann eine vielfältige Anforderungen ableiten:

i) Min. # Fzge: $c_{uv} = \begin{cases} 1 & u=s, v=t \\ 0 & \text{sonst} \end{cases}$ (sei dieses $c := c^\#$)

ii) Min. # Fzge, dann Kap. Verteilung: $c_{uv} = \begin{cases} M + k_{uv} & uv = st \\ k_{uv} & \text{sonst} \end{cases}$

iii) Min. # Umlaufwechsel: $c_{uv} = k_{uv}$ falls u, v zu verschiedenen Linien geh.

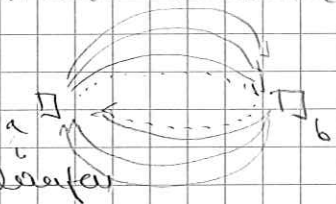
iv) Min. kurze Wege: $c_{uv} = k_{uv}$, falls uv keine Werte

v) Mindestwenderzeit T : Auftrags uv mit $s_u - t_u < T$

vi) Fzge-Typen T_f auf Teilgraphen $f: T_f \leftarrow T_{fg} \cap T_f \quad \forall fg \in A$
 Kosten c_f auf " " $f: c_{fg} \leftarrow c_{fg} + c_f \quad \forall fg \in A$

c) Gelegte Anforderungen, die ^{manchmal} "herleitbar" ableiten kann:

i) Zahlensichtiges Depotausgang:

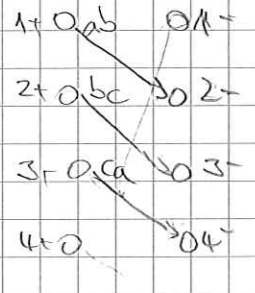
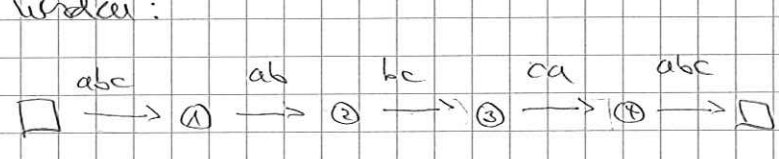


ii) Übergabesender auf verschiedenen Kundenarten

iii) " auf Mengen von Kundenarten

iv) Untere Typenvarianten

d) Aber ohne Papierarbeiten kann das VSP nicht als Zuordnungsproblem gelöst werden:



Obwohl die Nachfolgeknoten lokal zulässig sind, gibt es keinen zulässigen Umlaufplan.

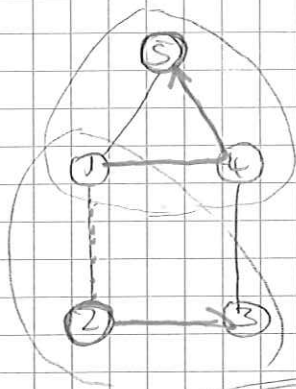
4. Komplexität

Satz: Das VSP ist NP-Kompl.

Bew.: Entscheidung des zugehörigen Entscheidungsproblems (gibt es einen Umlaufplan mit Kosten $\leq k$?) für den Fall $u \in \mathbb{N}$ und $c = c^\#$ (VSP)

Reduktion des ~~Travel~~ ^{Dominanz} ~~Cost~~ Entscheidungsproblems (DS) auf (VSP)

Sei $G=(N, E)$, $k \in \mathbb{N}$ eine Kostenzahl von (DS)



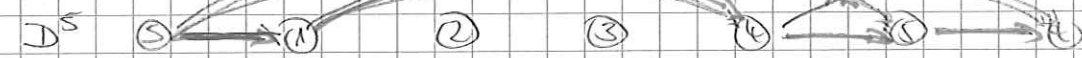
$$N(1) = \{1, 2, 4, 5\}$$

$$N(2) = \{1, 2, 3\}$$

$$N(3) = \{2, 3, 4\}$$

$$N(4) = \{1, 3, 4, 5\}$$

$$N(5) = \{1, 4, 5\}$$



OB d. A. sei $N = \{1, \dots, n\}$, $s \in N$

$$T := \{1, \dots, n\} \subseteq N$$

$$u^d = 1 \quad \forall d \in T$$

$$V := \{0, \dots, u+1\} \text{ mit } s := 0, t := u+1, s_i := i, t_i := i+1, t_i$$

$$N(i) := \{j \in N \mid j \neq i\}, i \in N$$

$$A^i := \{ij \in (\{0\} \cup N(i) \cup \{u+1\})^2 : i < j\} \quad (\text{wohl def. !})$$

$$A := \bigcup_{i \in N} A^i$$

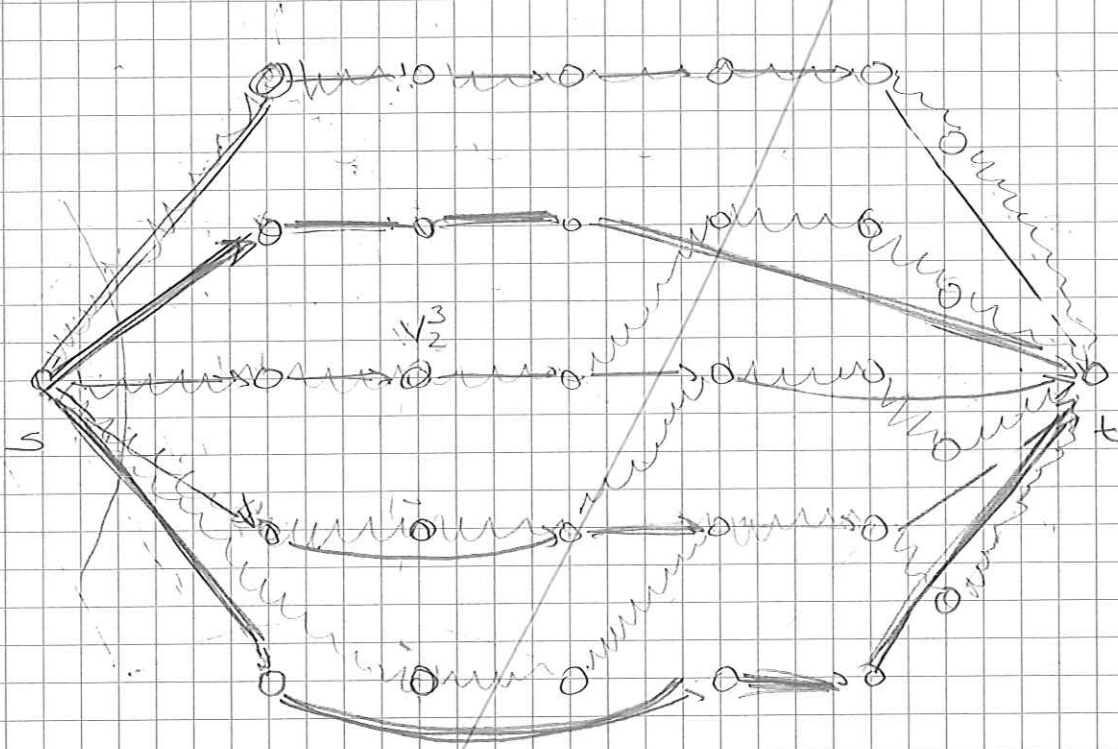
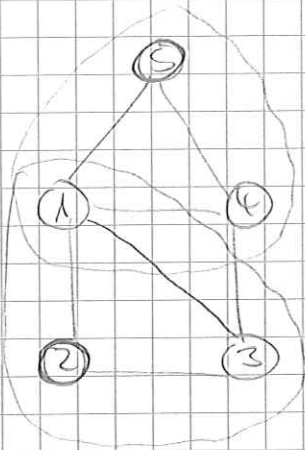
$$T_a := \{i : a \in A^i\}$$

$$c_{ij} := \begin{cases} 1 & i = s \\ 0 & \text{sonst} \end{cases}$$

$$D := (V, A)$$

Diese Darstellung hat folgende Eigenschaften:

- i) Die Codierungslänge von K, T, V, A, u, c ist $O(n^2 + \log n)$, d.h. die Darstellung ist polynomial in der Codierungslänge $O(n^2 + \log n)$ von V, A, E . $\textcircled{+}$



V_0 V_1 V_2 V_3 V_4 V_5 V_6 V_7

O.z. d.A. sei $N = \{1, \dots, n\}$, $N(i) = \{j \mid \exists j(i) = \{j_0 < \dots < j_{n(i)}\}$

$V_0 := \{s\}$

$V_i := \{v_i^j \mid j \in N\}$, $i \in N$

$V_{n+1} := \{v_{n+1}^1, \dots, v_{n+1}^{n+1}\}$

$V_{n+2} := \{t\}$

$A_i := \{s v_i^{j_0}, v_i^{j_0} v_i^{j_1}, \dots, v_i^{j_{n(i)-1}} v_i^{j_{n(i)}}, v_i^{j_{n(i)}} t\}$, $i \in N$

$A_i := \bigcup_{0 \leq k < n+2} V_j V_k$, $i = n+1, \dots, n+(n-1)$

$T := \{1, \dots, n, n+1, \dots, n+(n-1)\}$

Diese Darstellung hat folgende Eigenschaften:

- a) Sie ist polynomial in n .
- b) Die Adjazenz ist gegeben durch Indizes v_0, \dots, v_{n+2} . Sei v_i^j die i -te Ebene $v_{n+1}^1, \dots, v_{n+1}^{n+1}$.
- c) Für $i \in N$ gibt es genau einen Knoten, und zwar A_i .

ii) Für jedes $i \in N$ ist die Abb.

$$\pi_i: \mathcal{P}(V) \rightarrow \mathcal{P}(G) \quad p \mapsto p \cap N(i)$$

bijektiv, d.h. es besteht eine 1-1-Beziehung zwischen Teilmengen vom Typ i und Teilmengen von $N(i)$. Die Umkehrabb. ist

$$\pi_i: \mathcal{P}(N(i)) \rightarrow \mathcal{P}(V) \quad \omega(i) = \{j_1, \dots, j_k : j_1 < \dots < j_k\} \mapsto \{j_1, \dots, j_k\}$$

iii) Wenn U ein k -Kantenplan ist, dann ist

$$T(U) := \{i \in T : \mathcal{P}^i \cap U \neq \emptyset\}$$

eine T -Mengenüberdeckung ^{von G} mit $|T(U)| = |U|$. ($U \equiv \mathcal{U}$).

iv) Wenn $J = \{j_1 < \dots < j_k\}$ eine T -Mengenüberdeckung von G ist, dann ist mit der Rekursion

$$P_i := \pi_i(N(j_i) \setminus \bigcup_{e \in J} N(j_e)) \quad i=1, \dots, k$$

$$U(J) := \{P_1, \dots, P_k\} \text{ ein } k\text{-Kantenplan mit } |J| (=k) \text{ Kanten}$$

v) $i) \Rightarrow$ Antwort $BS = JA \Leftrightarrow$ Antwort $VSP = JA$. □

Folg.: a) Da in BS und VSP keine Zahlen (außer k) auftreten, folgt, dass VSP sogar NP-hart im strengen Sinn ist. f, VC ist 2-approx

b) Da die Transformation Zielknotenwerte beibehält und VC nicht approximierbar ist, folgt, dass VSP ebenfalls nicht approximierbar ist.

d) Kurven des $n-1 = |V|-1$ Typen $n, \dots, n+(h-1)$ laufen beliebig von links nach rechts durch die Punktestrahlen V_0, \dots, V_{n-2} , wobei in jeder Spalte mindestens 1 Punkt besucht wird.

e) Die $n-1$ Strahlen der Spalte V_{n-1} können aus n Kurven von Typ $n+1, \dots, n+(h-1)$ besucht werden. Es muss folglich $n-1$ solche Kurven geben, die in den Spalten V_1, \dots, V_n jeweils mindestens einen Punkt übrig lassen, d.h. die Spalten V_1, \dots, V_n werden nicht voll überdeckt.

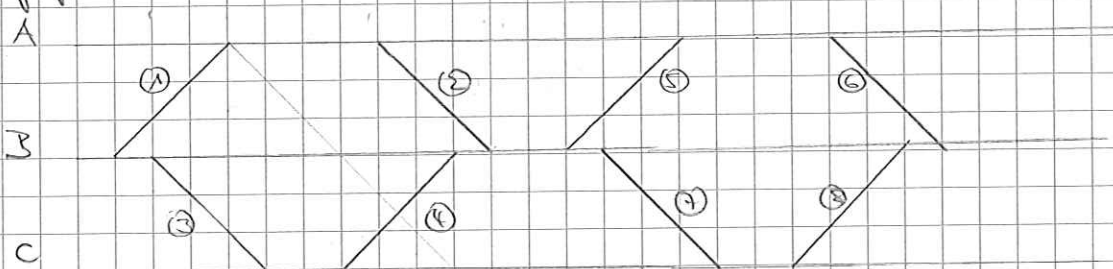
f) Jeder übriggelassene Punkt wird von einem Kurven von Typ $i \in \mathbb{N}$ überdeckt, da damit die Spalte überdeckt.

g) Die Überdeckung des Strahles durch Kurven von Typ $i \in \mathbb{N}$ entspricht einer Überdeckung von V durch Punkte $i \in \mathbb{N}$. \square

Fazit: Da Beweis zeigt auch, dass das VSP Streng NP-hart ist und, da VC nicht approximiert werden kann, auch APX-hart ist.

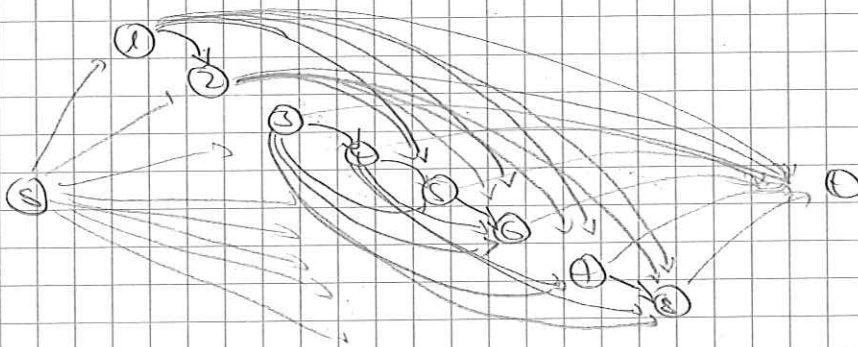
5. Planungsgraphen

Bsp:

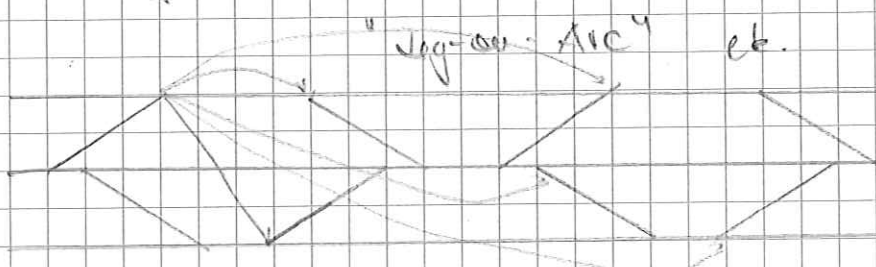


8 Punkte

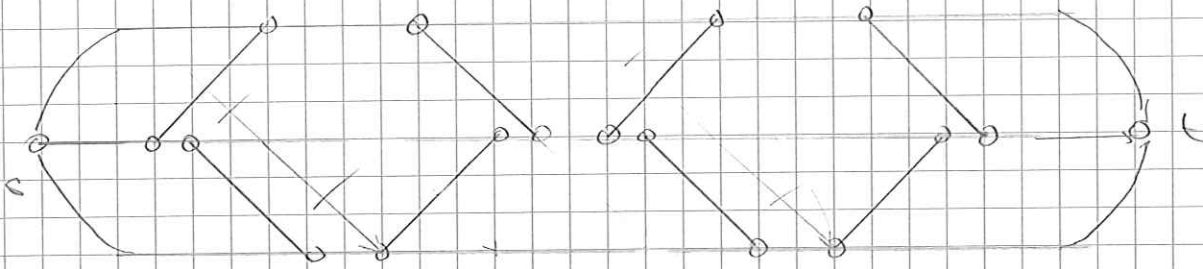
a) Standard-Planungsgraph "Jog-ou-Node"



b)



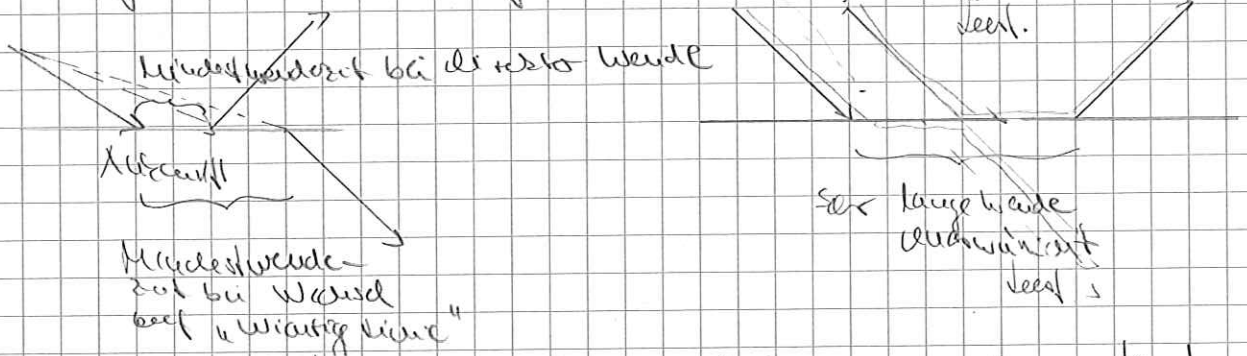
b) Zeitknoten - Planunggraph



Reue: a) Der Vorkal des Zeitknotengraphen ist die Reverse-Topologie:

	$ V $	$ A $
Standard	$O(F)$	$O(F ^2)$
Zeitknoten	$O(F)$	$O(F/L)$

b) Voraussetzung für den Zeitknotengraph ist, dass es keinen Weg gibt, der von Knoten s nach Knoten t führt, der die Reihenfolge der Knoten nicht beibehält.



Man kann diese Kanten als reflexiv, indem man einen Kreislauf überbrückt, zwischen dem Planunggraphen durchführt.

6 IP Modelle

IP (IP-Formulierung des VSP)

a) Kantenformulierung

Mit Variablen $x_a^d \in \{0,1\} \forall a \in A, d \in T$ kann das VSP wie folgt formuliert werden:

(VSP_K) mit $\sum_{d \in T} \sum_{a \in A^d} c_a^d x_a^d$

- (i) $x_a^d(s(u)) - x_a^d(s^+(u)) = 0 \quad \forall d \in T, s^+ \neq t$ "Flussbilanzbed."
- (ii) $x_a^d(s(u)) = 1 \quad \forall s \neq v \neq t$ "Flussbedingung"
- (iv) $x_a^d(s^+(s)) = u^d \quad \forall d \in T$ "Typspezifität"
- (vii) $x_a^d \in \{0,1\} \quad \forall a \in A, d \in T$ "Ganzzahligkeit"

b) Flowformulierung

Mit Variablen $y_p \in \{0,1\}$, $p \in P = \bigcup_{d \in T} P^d$ stellt man die Äquivalenz

Formulierung

$$(VSP_2) \quad \min \sum_{d \in T} \sum_{p \in P^d} \overbrace{\sum_{a \in P} c_a^d}^{=c_p} y_p$$

- (i) $y(S^-(v)) = 1 \quad \forall s \neq v \neq t$ "Flussbedingung"
- (ii) $y(P^d) \leq u^d \quad \forall d \in T$ "Deplatzierbarkeit"
- (iii) $y_p \in \{0,1\} \quad \forall p \in P$ "Spurenschnitt"

Bem.: Die Äquivalenz von (VSP_1) und (VSP_2) bzgl. Zielwertfunktion und Lösungswerte in den \mathbb{N} über Multi-Commodity-Flow und column-generation bewiesen. Das wurde arg, dass man Probleme mit vielen Spalten der Basis per CG löst. In wenigen Spalten Ident. sei dies möglich. In der Laufzeit-Optimierung benutzt man meist, die Spalten zu lösen und durch die Treppenförmigkeit beschränken.

7. Zweistufiges Beispiel: Lagrange-Relaxierung

Def. Lagrange-Relaxierung: Schwach ein Opt. Problem

(P) $\min c^T x, \quad Dx = d, \quad x \in X.$

mit $D \in \mathbb{R}^{m \times n}$, $X \subseteq \mathbb{R}^n$ abgeschlossen. Man löst

(L) $\max_{\lambda} f(\lambda) := \max_x \min_{\lambda} (c^T - \lambda^T D)x + \lambda^T d, \quad x \in X$

Lagrange-Relaxierung von (P) bzgl. $Dx = d$,

$f: \mathbb{R}^m \rightarrow \mathbb{R}, \quad \lambda \rightarrow f(\lambda)$

Maximalwert

Lagrangefunktion von (P) bzgl. $Dx = d$,

$f(\lambda) = \min (c^T - \lambda^T D)x + \lambda^T d, \quad x \in \mathbb{R}^n$

Subproblem von (L).

Satz: Sei $v(P) = \min c^T x, \quad Dx = d, \quad x \in X \in \mathbb{R}_\infty$.

a) $\max f(\lambda) \leq v(P).$

b) Sei $X = \{x \mid Ax = b, x \geq 0\}$ und $\{Dx = d, Ax = b, x \geq 0\} \neq \emptyset$ dann ist $\max f(\lambda) = v(P).$

Insbesondere ist das Wert der Lagrange-Relaxierung eines LPs oft

Dann Wert der LP-Relaxierung (falls diese zulässig ist).

c) Sei $X = \begin{Bmatrix} \text{Fluss} \\ \text{endlich} \end{Bmatrix}$ und $X \in \{DX = d\} \neq \emptyset$. Dann ist f

- i) konvex
- ii) Stückweise affin.
- iii) nach oben beschränkt.

Bew.:

a) $f(x) = \min_{x \in X} (c^T - \lambda^T D)x + \lambda^T d = \min_{\substack{x \in X \\ DX=d}} c^T x - \lambda^T (DX - d) \leq \min_{\substack{x \in X \\ DX=d}} c^T x - \lambda^T (DX - d) = v(\lambda)$

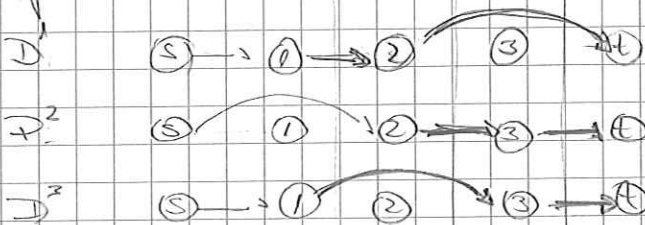
b) $\min_{\substack{Ax=b \\ DX=d \\ x \geq 0}} c^T x = \max_{\substack{\mu^T b + \lambda^T d \\ \mu^T A + \lambda^T D \leq c^T}} \mu^T b + \lambda^T d = \max_{\lambda} \lambda^T d + \max_{\mu} \mu^T b$
 $\mu^T A + \lambda^T D \leq c^T$

$\max_{\lambda} f(\lambda) = \max_{\lambda} \min_{\substack{Ax=b \\ x \geq 0}} (c^T - \lambda^T D)x + \lambda^T d = \max_{\lambda} \lambda^T d + \min_{\substack{Ax=b \\ x \geq 0}} (c^T - \lambda^T D)x$

c) Sei $X = \{x_1, \dots, x_2\}$ oder $X = \text{conv}\{x_1, \dots, x_2\}$:

$f(\lambda) = \min_{x \in X} (c^T - \lambda^T D)x + \lambda^T d = \min_{i=1}^2 \underbrace{c^T x_i - \lambda^T (DX_i - d)}_{\text{affine Funktion}} \leq v(\lambda) < \infty$
 $X \in \{DX=d\}$

Bsp.:



min $x_{s1}^1 + x_{s2}^2 + x_{s1}^3$

$DX=d \quad x_{12}^1 + x_{2t}^1 + x_{23}^2 + x_{3t}^2 + x_{13}^3 + x_{3t}^3 = 3$

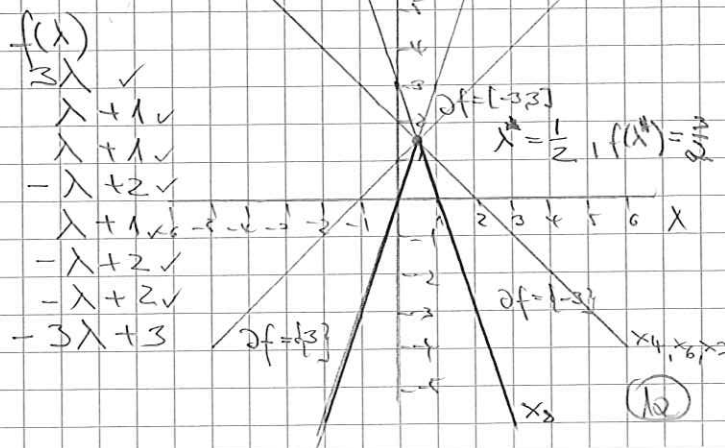
$x \geq 0 \Rightarrow \begin{cases} x_{s1}^1 = x_{12}^1 = x_{2t}^1 \\ x_{s2}^2 = x_{23}^2 = x_{3t}^2 \\ x_{s1}^3 = x_{13}^3 = x_{3t}^3 \end{cases}$
 $0 \leq x \leq 11$

Opt. Lsg
 $x^* = 11/2$
 $v(\lambda) = 3/2$

(L) $\max_{\lambda} \min_{x \geq 0} x_{s1}^1 + x_{s2}^2 + x_{s1}^3 - \lambda (x_{12}^1 + x_{2t}^1 + x_{23}^2 + x_{3t}^2 + x_{13}^3 + x_{3t}^3 - 3)$

$x_{s1}^1 = x_{12}^1 = x_{2t}^1$
 $x_{s2}^2 = x_{23}^2 = x_{3t}^2$
 $x_{s1}^3 = x_{13}^3 = x_{3t}^3$

	p_1	p_2	p_3	$c^T x$	$-\lambda (DX-d)$	$f(\lambda)$
x_1	0	0	0	0	$-\lambda (-3)$	3λ ✓
x_2	0	0	1	1	$-\lambda (-1)$	$\lambda + 1$ ✓
x_3	0	1	0	1	$-\lambda (-1)$	$\lambda + 1$ ✓
x_4	0	1	1	2	$-\lambda (+1)$	$-\lambda + 2$ ✓
x_5	1	0	0	1	$-\lambda (-1)$	$\lambda + 1$ ✓
x_6	1	0	1	2	$-\lambda (+1)$	$-\lambda + 2$ ✓
x_7	1	1	0	2	$-\lambda (+1)$	$-\lambda + 2$ ✓
x_8	1	1	1	3	$-\lambda (+3)$	$-3\lambda + 3$



Satz: $\partial f(x_0) = \{f'(x_0)\}$

Bew.: $f(x_0 + \lambda d) \leq f(x_0) + u^T(x_0 + \lambda d - x_0) = f(x_0) + \lambda u^T d$

$$\Rightarrow \frac{f(x_0 + \lambda d) - f(x_0)}{\lambda} \leq u^T d$$

$$\Rightarrow f'_d(x_0) \leq u^T d$$

$$\Rightarrow f'_{-d}(x_0) \leq -u^T d \Rightarrow f'_d(x_0) = -f'_{-d}(x_0) \geq u^T d$$

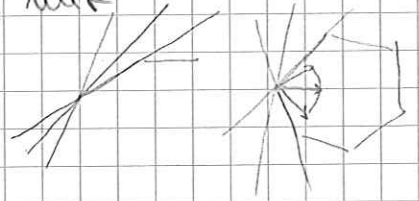
$$\Rightarrow f'_d(x_0) = u^T d$$

$$\Rightarrow f'(x_0) = u.$$

Beachte: Für $f(x)$ sind alle hier möglichen Fälle optimal! Ist man $f(x)$ mit Tiefalg. erhält man immer eine gewisse Lösung, die für (P) nie optimal ist, da eine Lagenbeziehungs liefert i.d. near einem Zielfunktionswert, aber keine Lösung.

Def. a) Sei $f: \mathbb{R}^m \rightarrow \mathbb{R}$ konv. Dann heißt $u \in \mathbb{R}^m$ mit

$$f(x) \leq f(x_0) + u^T(x - x_0) \quad \forall x$$



Subgradient von f in x_0

b) $\partial f(x_0) = \{ u \in \mathbb{R}^m : u \text{ ist Subgradient von } f \text{ in } x_0 \}$

Subdifferential von f in x_0

Prop.: Sei $f: \mathbb{R}^m \rightarrow \mathbb{R}$ konv. und diffbar in $x_0 \in \mathbb{R}^m$. Dann ist

$$\partial f(x_0) = \{ f'(x_0) \}$$

Bew.: Übung

Satz: Sei $f: \mathbb{R}^m \rightarrow \mathbb{R}$ konv. Dann gilt:

$$f(x^*) = \min_x f(x) \Leftrightarrow 0 \in \partial f(x^*)$$

Bew.: " \Rightarrow ": $f(x) \leq f(x^*) = f(x^*) + 0^T(x - x^*) = f(x^*)$
 \Leftarrow $f(x) \leq f(x^*) + 0^T(x - x^*) = f(x^*)$ \square

Prop.: Sei $X = \{ \text{conv} \{ x_1, \dots, x_n \} \} \neq \emptyset$. Dann ist

$$\partial f(x_0) = -\text{conv} \{ \nabla x_i - d : x_i \in \text{extremal } f(x_0) \}$$

Bew.: Sei $X(\lambda) = \{ x_i : f(x) = \bar{c}^T x - \lambda_0^T (\nabla x_i - d) \} \quad \forall \lambda \in \mathbb{R}^m, u_i := -(\nabla x_i - d)$

" \supseteq ": $\forall x_j \in X(x_0)$ gilt:

$$\begin{aligned} f(x_0) + u_j^T(x - x_0) &= \underbrace{\bar{c}^T x_j - \lambda_0^T (\nabla x_j - d)}_{f(x_0)} - \underbrace{(u_j^T(x - x_0))}_{u_j^T(x)} \\ &= \bar{c}^T x_j - \lambda_0^T (\nabla x_j - d) \\ &\geq \min_{i=1} \bar{c}^T x_i - \lambda_0^T (\nabla x_i - d) \\ &= f(x) \end{aligned}$$

$\Rightarrow \text{conv } X(x_0) \in \partial f(x_0)$

" \subseteq " Wegen $S := \{ \min_{x_i \in X(x_0)} \bar{c}^T x_i - \lambda_0^T (\nabla x_i - d) - f(x_0), 1 \} > 0$,

$\exists \lambda \in U(x_0)$ für eine gewisse Umgebung von λ_0

Sei $u \notin -\text{conv} \{ \nabla x_i - d : x_i \in X(x_0) \}$. Dann ex.

$$u^T \pi < u_i^T \pi \quad \forall x_i \in X(x_0) \quad (\text{Satz})$$

$$\begin{aligned} f(x_0 + \varepsilon \pi) &= \min_{x_i \in X(x_0)} \bar{c}^T x_i - (\lambda_0 + \varepsilon \pi)^T (\nabla x_i - d) \\ &= \min_{x_i \in X(x_0)} \bar{c}^T x_i - \lambda_0^T (\nabla x_i - d) + \varepsilon \pi^T u_i \\ &= f(x_0) + \min_{x_i \in X(x_0)} \varepsilon \pi^T u_i > f(x_0) + \varepsilon \pi^T u = f(x_0) + u^T(x_0 + \varepsilon \pi - x_0) \end{aligned}$$

Alg.: Subgradientverfahren

Input: $f: \mathbb{R}^n \rightarrow \mathbb{R}$ konvex

$\lambda_0 \in \mathbb{R}^n$ Startpunkt

$(\alpha_k)_{k=1}^{\infty}$, $\alpha_k > 0$ Schrittweite

Output: $(\lambda_k)_{k=1}^b$

1. $k \leftarrow 0$, $\lambda_0 \leftarrow u \in \partial f(\lambda_0)$

2. $\lambda_{k+1} \leftarrow \lambda_k + \alpha_k u_k$

$u_{k+1} \leftarrow u \in \partial f(\lambda_{k+1})$

3. goto 2.

Satz: Sei $f: \mathbb{R}^n \rightarrow \mathbb{R}$ konvex und es gelte

i) $f^* = \max f \in \mathbb{R}$ (endliches Max.)

ii) $\|u\|_2 \leq L \quad \forall u \in \partial f$ (Lipshitzbedingung)

iii) $\sum \alpha_k \rightarrow +\infty$

iv) $\sum \alpha_k^2 < \infty$

Dann gilt $\lim_{k \rightarrow \infty} \max_{j=0}^k f(\lambda_j) = f^*$.

Beweis: Sei $\lambda^* \in \text{argmax } f$.

$$\begin{aligned} \|\lambda_{k+1} - \lambda^*\|_2^2 &= \|\lambda_k + \alpha_k u_k - \lambda^*\|_2^2 \\ &= \|\lambda_k - \lambda^*\|_2^2 + 2\alpha_k u_k (\lambda_k - \lambda^*) + \alpha_k^2 \|u_k\|_2^2 \end{aligned}$$

$$\begin{aligned} f(\lambda_k) &\leq f(\lambda_k) + u_k (\lambda^* - \lambda_k) \\ \Rightarrow f(\lambda_k) - f(\lambda^*) &\leq u_k (\lambda_k - \lambda^*) \\ \Rightarrow f^* - f(\lambda^*) &\leq -u_k (\lambda_k - \lambda^*) \leq \|\lambda_k - \lambda^*\|_2 - 2 \sum_{j=0}^k \alpha_j [f^* - f(\lambda_j)] + \sum_{j=0}^k \alpha_j^2 \|u_j\|_2^2 \end{aligned}$$

$$\Rightarrow \underbrace{\|\lambda_{k+1} - \lambda^*\|_2^2}_{\leq 0} + 2 \sum_{j=0}^k \alpha_j [f^* - f(\lambda_j)] \leq \|\lambda_0 - \lambda^*\|_2^2 + \sum_{j=0}^k \alpha_j^2 \|u_j\|_2^2$$

$$\Rightarrow f^* - \max_{j=0}^k f(\lambda_j) \leq \frac{\|\lambda_0 - \lambda^*\|_2^2 + \sum_{j=0}^k \alpha_j^2 L^2}{2 \sum_{j=0}^k \alpha_j} \xrightarrow[k \rightarrow \infty]{} 0. \quad \square$$

Bsp.: Umkehrplanung

(VSP₁) $\min \sum_d \sum_{a \in A^d} c_a^d x_a^d$

- (i) $x^d(S^-(v)) - x^d(S^+(v)) = 0 \quad \forall d \in T, s+v \neq t$
- (ii) $x(S^-(v)) - x(S^+(v)) = 0 \quad \forall s+v \neq t$ // "agg. Flussbilanzierung"
- (iii) $x(S^-(v)) = 1 \quad \forall s+v \neq t$
- (iv) $x^d(S^-(s)) + s_d \leq u^d \quad \forall d \in T$
- (v) $x(S^-(s)) \leq \sum_d u^d$ // "agg. Depotkap."
- (vi) $0 \leq x_a^d \leq 1 \quad \forall d \in T, a \in A^d$

a) (VSP₁)^{vi} über (ii) und (v). Lagrange-Relaxierung der Flussbed. (iii):

$\max_{\lambda} \min \sum_d \sum_{a \in A^d} c_a^d x_a^d - \sum_{s+v \neq t} \lambda_v [x(S^-(v)) - 1]$

- (i) $x^d(S^-(v)) - x^d(S^+(v)) = 0 \quad \forall d \in T, s+v \neq t$
- (iv) $x^d(S^-(s)) \leq u^d \quad \forall d \in T$
- (vi) $0 \leq x_a^d \leq 1 \quad \forall d \in T, a \in A^d$

Das Subproblem dekomponiert in unabhängige Min-Cost-Flow-Probleme für die einzelnen Depots die stets periodische Lösungen haben, einige Variablen sind über- oder unterdeckt.

b) (VSP₁) mit (ii) und (v). Lagrange-Relaxierung von (i) und (iv):

(VSP₁)^{ii,iv} $\max_{\mu, \pi} \min \sum_d \sum_{a \in A^d} c_a^d x_a^d - \sum_{\substack{d \in T \\ s+v \neq t}} \mu_v [x^d(S^-(v)) - x^d(S^+(v))] - \sum_d \pi^d [x^d(S^-(s)) - u^d]$

- (ii) $x(S^-(v)) - x(S^+(v)) = 0 \quad \forall s+v \neq t$
- (iii) $x(S^-(v)) = 1 \quad \forall s+v \neq t$
- (v) $x(S^-(s)) \leq \sum_d u^d$
- (vi) $0 \leq x \leq 1$
- (vii) $s \geq 0$

Das Subproblem ist ein einziges Min-Cost-Flow-Problem, in dem Flusstypen ignoriert werden (→ Variablen zusammenfassen) d.h. es entstehen Depotkapazitäten.

c) Beide Lagrange-Relaxierungen haben denselben Wert wie die LP-Relaxierung von (VSP₁).

B. Heuristiken

Idee: a) 2 Basisoperationen

i) Schedule: Fabriken \rightarrow Anläufe } Zuordnungen
 ii) Cluster: Fabriken \rightarrow Depots }

b) Annahmen

i) $\forall v \in V: \exists d \in T: d_v, v_d \in A$ } Zulässigkeit
 ii) "keine Depotkapazitäten" u^d }

Alg: Cluster first - Schedule second (CFSS)

Input: RSP durch T, V, A, u, c

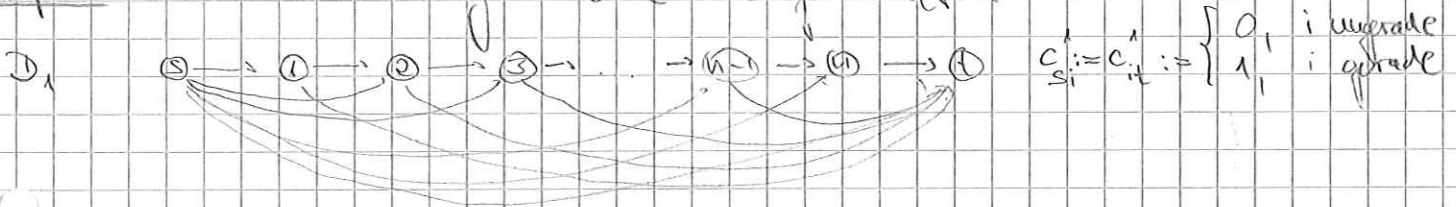
Output: St. Pläne $p_1, \dots, p_k: \forall i \in p_i: \forall v \in V, s, t, y, \{ \{ p_i \in P^d \} \} \in u^d \forall d \in T$

1. falls $d \in T: V^d \leftarrow \emptyset$

2. falls $v \in V \setminus \{s, t\}$:
 $d \leftarrow \operatorname{argmin}_{d \in T} \{ c_{dv}^d + c_{vd}^d \};$ // "cluster"
 $V^d \leftarrow V^d \cup \{v\};$ // "nearest depot"

3. $p_1, \dots, p_k \leftarrow \bigcup_{d \in T} \operatorname{argmin} \operatorname{SDVSP}(V^d, A^d, c^d, u^d)$ // "schedule"

Bsp.: CFSS kann beliebig schlechte Lösungen liefern:



CFSS: $V^1 = \{1, 3, 5, \dots\}, V^2 = \{2, 4, 6, \dots\}$

$P_{CFSS} = \{p_1, \dots, p_n: p_i = s \text{ if } i \in P^{\text{ungerade}}\}$

$P_{opt} = \{s123 \dots n-1n\}$

$|P_{CFSS}| / |P_{opt}| = n/1 = n \xrightarrow{n \rightarrow \infty} \infty. \square$

Alg. (Löbel [1997]): Scheduling first - deuts second - testbede

Input: VSP durch $T, V, A, c, u, \epsilon > 0, M > 0$

Output: st-Fluss $p_1, \dots, p_k: \forall i \in \{1, \dots, k\} \exists v \in V \setminus \{st, ty\}, |\{p_i \in P^d\}| \leq u^d \forall d \in T$

1. $p_1, \dots, p_k \leftarrow \text{argmin} (LVSP_{st}^{i,iv})$ "Schritte"

2. forall $d \in T: \hat{A}^d \leftarrow \{a \in A^d: \bar{c}_a^d < \epsilon\}$

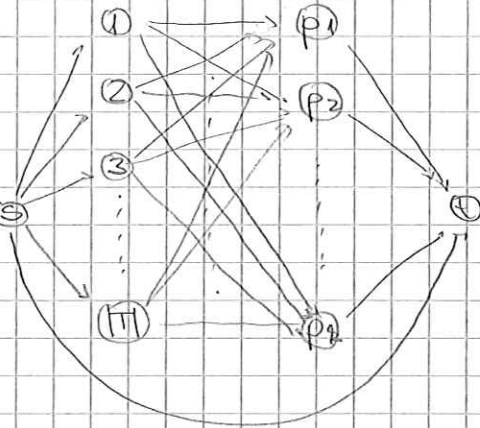
3. forall $p_1, \dots, p_k, d \in T: c_i^d \leftarrow |p_i \cap \hat{A}^d| \cdot M + \sum_{a \in p_i \cap \hat{A}^d} c_a^d$

$$b_s = k, \quad b_t = -k, \quad b_v = 0 \quad \forall v \neq st$$

$$c_{uv} = \begin{cases} c_i^d & uv = dp_i \\ MM & uv = st \\ 0 & \text{sonst} \end{cases}$$

$$u_{uv} = \begin{cases} u^d & uv = sd \\ \sum_{d \in T} u^d & uv = st \\ \Lambda & \text{sonst} \end{cases}$$

4. MCF \leftarrow



5. $x \leftarrow \text{argmin} \text{MCF}$

"Capacity estimate"

6. for $i = 1, \dots, k:$

"best depot"

$$d_i \leftarrow \begin{cases} d_1 & \text{falls } x_{dp_i} = 1 \\ \text{argmax}_{d \in T} |p_i \cap \hat{A}^d| & \text{falls } x_{dp_i} = 0 \end{cases} \quad \forall d \in T$$

7. forall $d \in T: V^d \leftarrow \emptyset$

8. for $i = 1, \dots, k: V^d \leftarrow p_i \cap V^d$

"deuts"

9. forall $v \in \bigcup_{d \in T} V^d: V^d \leftarrow V^d \cup \{v\}, d \leftarrow \text{argmin}_{d \in T} \{c_{dv}^d + c_{vd}^d\}$

10. $p_1, \dots, p_k \leftarrow \text{argmin}_{d \in T} \text{SDVSP}(V^d, \hat{A}^d, c^d, u^d)$ "testbede"

Bem.: Die "deuts"-Schritte 7-9 sind hier in einer vereinfachten Form

dargestellt. Löbel [1997] analysiert die Umläufe genauer, um Flüsse, die nicht beliebige Depotaufträge reorganisieren, zu bestimmen und in einer übergeordneten Tabu-Search-Heuristika (Zykweise) zu eliminieren.

3 Sensitivitätsanalyse

Idee: Senke den Fzg.bedarf durch Verschieben von Fahrzeugen (in der Spalte).

Die Fahrzeugverschiebungen werden als "Wasser" an den Fahrzeugen aufgefäß, daher das Name "Sensitivitätsanalyse" für diesen Ansatz.

Def.: Umlaufplanungsproblem mit Fahrzeugverschiebungen

geg.: T "Depots"
 V "Fahrzeuge", $s, t \in V$

$$V^d \subseteq V \quad \forall d \in T, s, t \in V^d$$

$$A^d \subseteq V^d \times V^d \setminus \{s\}$$

$$D^d = (V^d, A^d)$$

$$S_{uv}^d \in \mathbb{Z} \quad \forall uv \in A^d, u \neq s, v \neq t$$

$$c_{uv}^d \in \mathbb{Z} \quad \forall uv \in A^d$$

$$c_v^d \in \mathbb{Z} \quad \forall v \in V \setminus \{s, t\}, d \in T$$

$$\Delta \in \mathbb{N}_0$$

"Planungsgraph für Depot d"

"Kendallverschiebungen"

"Kosten"

"max. Verschiebung"



Def.: $P^d := \{ (p, \varepsilon) : p = \sum_{i=1}^k v_i, t \in P^d \text{ st-Fkd}, -\Delta \leq \varepsilon_1, \dots, \varepsilon_k \leq \Delta : S_{r_i, v_{i+1}}^d = z_{i+1} - \varepsilon_i, i=1, \dots, k-1 \}, d \in T$

$$P := \bigcup_{d \in T} P^d$$

$$c_p := \sum_{uv \in A^p} c_{uv}^d + \sum_{s, t \in V^p} c_v^d$$

$u \in P : \bigcup_{p \in P} p \setminus \{s\} = V$ "Umlaufplan"

$$c_u := \sum_{p \in P} c_p$$

Ges.: Umlaufplan mit minimalen Kosten.

Def. (Zöwisch 2006): IP-Formulierung für das Umlaufplanungsproblem mit Fahrzeugverschiebung

$$(TSVSP_1) \quad \min \sum_{d \in T} \sum_{a \in A^d} c_a^d x_a^d + \sum_{v \in V \setminus \{s, t\}} c_v^d \varepsilon_v$$

$$(i) \quad x^d(s^-(v)) - x^d(s^+(v)) = 0 \quad \forall d \in T, s \neq v \neq t$$

$$(ii) \quad x(s^+(v)) = 1 \quad \forall s \neq v \neq t$$

$$(iii) \quad x_{uv}^d (\delta_{uv}^d + 2\Delta) - 2\Delta \leq \varepsilon_v^d - \varepsilon_u^d \quad \forall d \in T, u \neq s, v \neq t$$

$$(iv) \quad x^d(s(s)) \leq u^d \quad \forall d \in T$$

$$(v) \quad -\Delta \in E_v^d \in \Delta \quad \forall d \in T, s+v \neq t$$

$$(vi) \quad x_w^d \in \{0,1\} \quad \forall w \in A^d$$

$$(vii) \quad E_v^d \in \mathbb{R} \quad \forall d \in T, s+v \neq t$$

Satz (Döwisch [2006]): Diskretisierung

$$(x, e) \text{ Lsg von (TSVSP)} \Rightarrow (x, \tau \in T) \text{ Lsg von (TVSP)}$$

Insbesondere gibt es eine Lösung mit ganz. Verbindungen, falls es eine Lsg gibt.

Bew.: Einsetzen. \square

Satz (Döwisch [2006]) (TVSP₁) ist NP-hart, sogar für $|T|=1$.

Bew.: $|T| > 1$ Reduktion auf VSP durch geeignete Def. von S und Δ

$|T|=1$ " auf PARTITION, siehe Döwisch [2006]

Bem.: Man kann noch andere Modelle schreiben, in dem Fahrten jeweils Voraussetzung kaputt werden. Diese Modelle führen zu besseren unteren Schranken.

3. Dienstplanung

$\bar{u}: \bar{u}^{\text{PK}} = \bar{u}^{\text{PK}}$
 $\text{VSP} \rightarrow \text{DST}$
 $\bar{u}: \emptyset \text{ als lin. Unabhängig.}$
 $\bar{u}: \sum_{k \in K} \text{APCP} \in \mathbb{P}$
 $\text{top Sort} = \text{ZSP}$
 $\bar{u}: \text{Pause als lin. NB}$

Def. (Dienstplanungsproblem (DST)):

geg.: $D = (V, A)$
 $V = T \cup S \cup \{s, t\}$

Dienstplanningraph (acyclisch)
 $D_k = (V_k, A_k)$ für Dienstarten

- T Menge von Dienstleistungen (Tasks)
- S Menge von Ergänzungsdiensten (Supplementary Tasks)
- s = top min V künstliches Starten ("Dienstbeginn") (unendlich)
- t = top max V künstliches Enden ("Dienstende") (unendlich)
- A Verbindungen ("links")
- R Menge von Ressourcen für einzelne Dienste
- K Menge von Dienstarten (... \rightarrow combinatorisch, ähnlich bei VSP!)
- M Menge von Ressourcen für den Dienstmix
- $C \in \mathbb{Q}^{A \times K}$ Kosten
- $w \in \mathbb{Q}^{A \times R}$ Ressourcenverbrauch für Dienste
- $w \in \mathbb{Q}^{A \times M}$ Ressourcenverbrauch für Dienstarten
- $u \in \mathbb{Q}^{R \times M}$ Ressourcenlimits

Def.: P s-Path in D
 P_s Menge der s-Pathe in D

$w_p^r = \sum_a w_a^r$
 $P^k := \{p \in P_s : w_p^r = u^r \forall r \in R\}$ Menge der ^{zulässigen} Dienstarten k
 $P^k := \bigcup P^k$ Menge aller zulässigen Dienste, d.B. d.A. $\bar{u}^{\text{PK}} = \bar{u}^{\text{PK}}$
 d.h. jedes s-Path ist für max. eine Dienstart k gültig.
 Kosten eines Dienstes der Dienstart k , c_p^k

$c_p = \sum_{a \in p} c_a^k$
 $c_p = \sum_{a \in p} w_a^r, P \in P^k$
 $w_p^m = \sum_{a \in p} w_a^m, P \in P^k$

$P \in P^k$: (zulässiger Dienstplan)

- i) $\exists! p \in P$
- ii) $w_p^m \leq u^m \forall m \in M$

$\mathcal{P} = \{P \text{ Dienstplan}\}$

geg.: $\min_{P \in \mathcal{P}} c_P$ kostenminimaler Dienstplan.

Zus.: i) Typische Dienstleistungen sind Heim-, Kurier-, Spät-, optische Dienste

ii) Typische Dienstleistungen sind Verweilzeit, Anfahrzeit, Dienstzeit.

iii) Typische Dienstleistungsbed. sind Schranken auf der absolute / relative Anzahl an getriebenen, Spät, usw. Diensten und Schranken auf der durchschnittliche Arbeits- und Dienstzeit.

Zus.: i) Naturdenkmallogik:

Dienstleistung

max. Teil eines Dienstes auf einem Teilraum

Dienstteil

max. Teil " "

Residuum bei Dienstleistungsraum
bei get. Diensten

Bem. i) Das DSP ist kein Pfadüberdeckungsproblem.

ii) VSP läßt sich auf DSP zurückföhren; zudem für jeden Flg. eine Ressource r mit $u^r = 0$ und

$$w_{uv}^r = \begin{cases} 0 & , uv \in A^r \\ 1 & , \text{sonst} \end{cases}$$

zugehört wird; analog werden die Depotkapazitäten durch Transitkapazitätsbedingungen abgebildet. Damit folgt:

iii) DSP \in MPH.

Bem. ii) (Airlines-Technologie): In anderen Industrien werden teilweise

andere Bezeichnungen verwendet, z.B. im Luftverkehr:

OV	Verkehrsnetz
task	Leg
Dienst	Passagier
Dienstteil	Flugplan (Teil eines Fluges "an einem Tag")
Dienstzeit	Passagierkapazität
fix-Bedingung	Base (bestimmt (da Zeit häufig Personalverfügbarkeit im Flughafen beschreiben))

Ziel (IP-Formulierung des DSP): mit Variablen $x_p \in \{0,1\}$ $\forall p \in P^k$

kann das DSP wie folgt formuliert werden:

(DSP) wenn $\sum_{p \in P^k} c_p x_p$

(i) $\sum_{p \in V} x_p = 1 \quad \forall v \in T$ "Tasküberdeckungsbed."

(ii) $\sum_{p \in P^k} w_p^u x_p \leq u^u \quad \forall u \in M$ "Dienstleistungsbedingungen"

(iii) $x_p \in \{0,1\} \quad \forall p \in P^k$ "Ganzzahligkeit"

mit

$$a_{vp} = \begin{cases} 1 & , v \in p \\ 0 & , v \in p, v \in T, p \in P^k \end{cases}$$

$$A := (a_{vp})_{v \in T, p \in P^k} \quad \text{"Task-Dienst-Matrix"}$$

$$W^u := (w_p^u), \quad u^u := (u^u)$$

$$c := (c_p)$$

gibt sich die Darstellung

(DST) $\min c^T x, Ax = \underline{1}, W^M x \leq u^M, x \in \{0,1\}^n$

Leit. "Set-Partitioning-Problem mit feste Constraints".

Def. (Spaltenzerlegung): Sei $P^k \subseteq P^M, c^k = (c_{pk})$, usw.

(MLP) $\min c^T x, Ax = \underline{1}, W^M x \leq u^M, 0 \leq x \leq \underline{1}$ // Master LP

(RMLP) $\min c^T x$ // Restricted Master LP

(II) $A^T \pi = \underline{1}$

(III) $W^M \pi \leq u^M$

$0 \leq x \leq \underline{1}$ ~~$\in \mathbb{N}$~~ $\text{Dürste } p \in S ?$

$\bar{c}_p := c_p - \pi^T A_p - \mu^T W_p^M$

"reduzierte Kosten v_p bzgl. π und μ "

(PRICE) $\min_{p \in P^M} \bar{c}_p = \min_{k \in K} \min_{p \in P^M} \bar{c}_p$

"Dantzig pricing problem"

Bem.: Das Pricing-Problem ist ein optimales Kurzeste-Weg-Problem mit zusätzlichem linearen Nebenbedingungen.

Bew.: $\bar{c}_p = c_p - \pi^T A_p - \mu^T W_p^M = \sum_{a \in p} c_a^k - \sum_{v \in T(p)} \pi_v - \sum_{\substack{m \in M \\ p \in P^k}} \mu^m \sum_{a \in p} w_a^m$

Sei $\tilde{c}_a^k := c_a^k - \mu^m w_a^m - \begin{cases} \pi_v, & v \in T \\ 0, & v \notin T \end{cases}$ $\forall v \in A$, dann gilt:

$\min_{p \in P^k} \bar{c}_p = \min \sum_a \tilde{c}_a^k x_a$

$x \in \delta^+(v) = \delta_{vs} - \delta_{vt} \quad \forall v \in V$

$w^r(x) \leq u^r \quad \forall r \in R$

$x \in \{0,1\}^A \quad \square$

~~05.02.07~~
12

10. Discretplanungsgraphen

Bsp.: Lineare-Crew-Scheduling

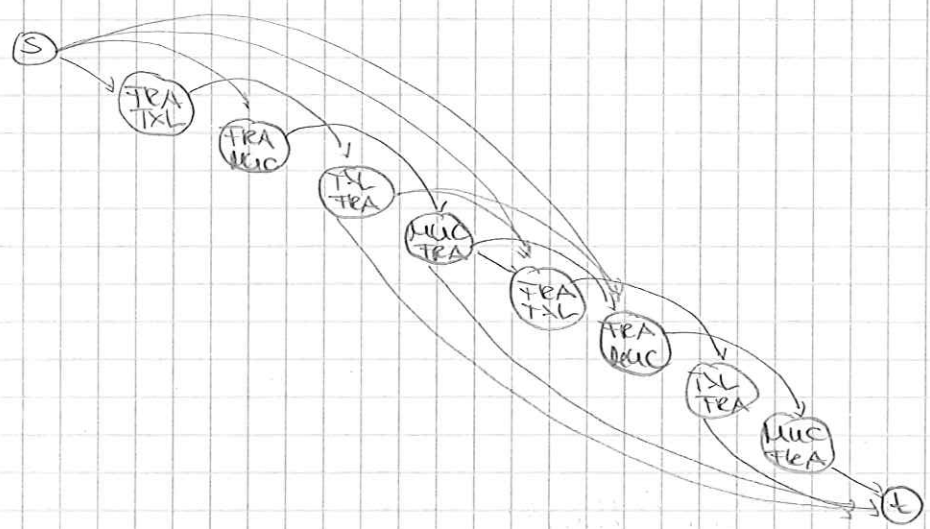
$V := \{FRA, TXL, MUC\}$
 $E := \{FRA\}$
 $C := \{1, \dots, 8\}$

"Flughäfen"
 "Zeitmarken"
 "Tage"

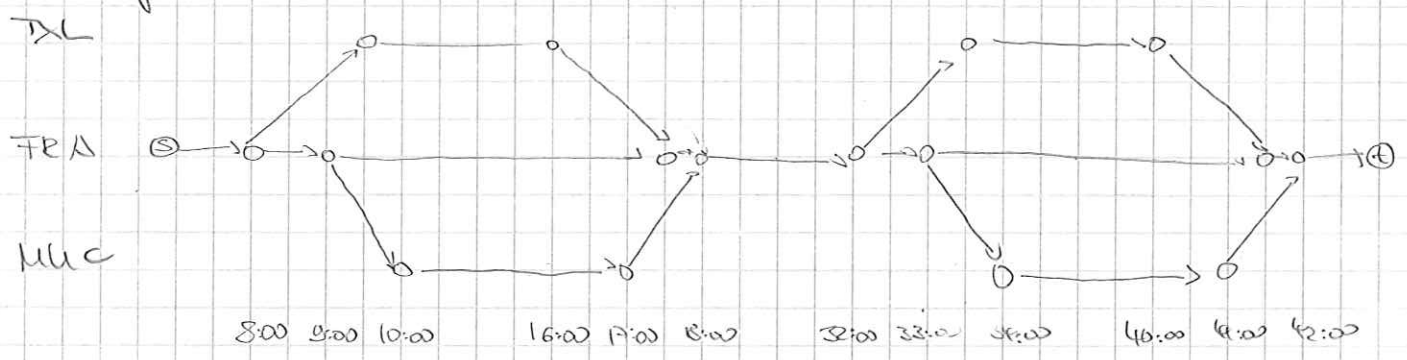
	0	d	S	L
1	FRA	TXL	8:00	9:30
2	FRA	MUC	9:00	10:00
3	TXL	FRA	16:00	17:30
4	MUC	FRA	17:00	18:00
5	FRA	TXL	32:00	33:30
6	FRA	MUC	33:00	34:00
7	TXL	FRA	40:00	41:30
8	MUC	FRA	41:00	42:00

$R = \{ \text{Pairing Start- u. Ende in } J, \text{ keine Überlappungen in } R \}$ "Regeln"

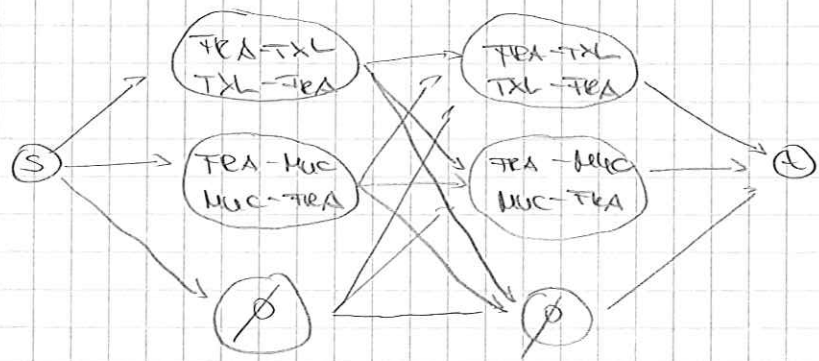
i) deg-arc-Node-Netzwerk



ii) deg-arc-ARC-Netzwerk



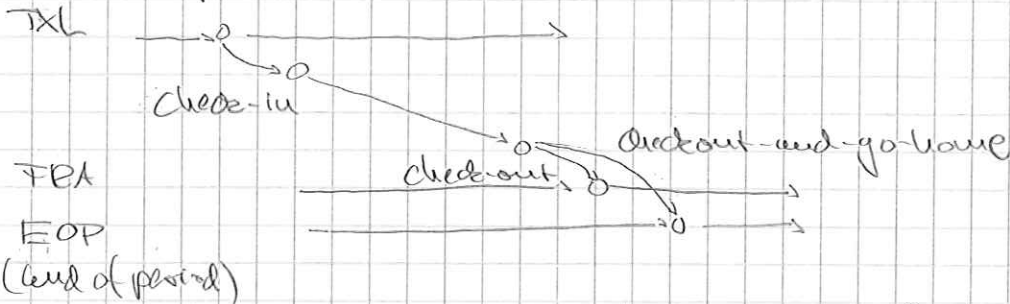
iii) Duty-Period-Netzwerk



iv) Vergleich

Typ	deg-arc-Node	deg-arc-ARC	Duty-Period
$ V $	$O(B)$	$O(B)$	$O(B ^L)$ ($L = \text{max \# legs / dp}$)
$ A $	$O(F ^2)$	$O(B)$	$O(B ^L)$
Vorteil	gute Kontrolle über Folgeflüge	kompatibel	Duty-Period-Regeln einfließen, das wichtig ist
Nachteil	sehr viele Verb. (insb. bei Ganztags- bzw. Transporten)	schlechte Kontrolle über Folgeflüge	groß

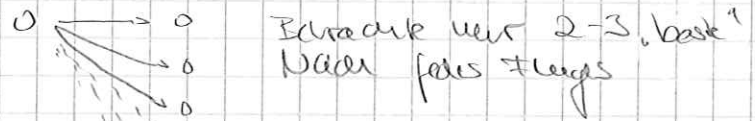
v) Größenzeugspläne



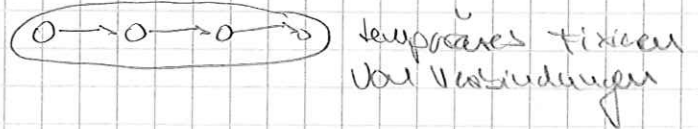
vi) Flug und Bodenkreislauf mit eigenen und fremden Fliegern, Libornachlieferungen etc. werden ähnlich modelliert.

vii) Large-Scale-Terminals

Next-availables (Ryan)

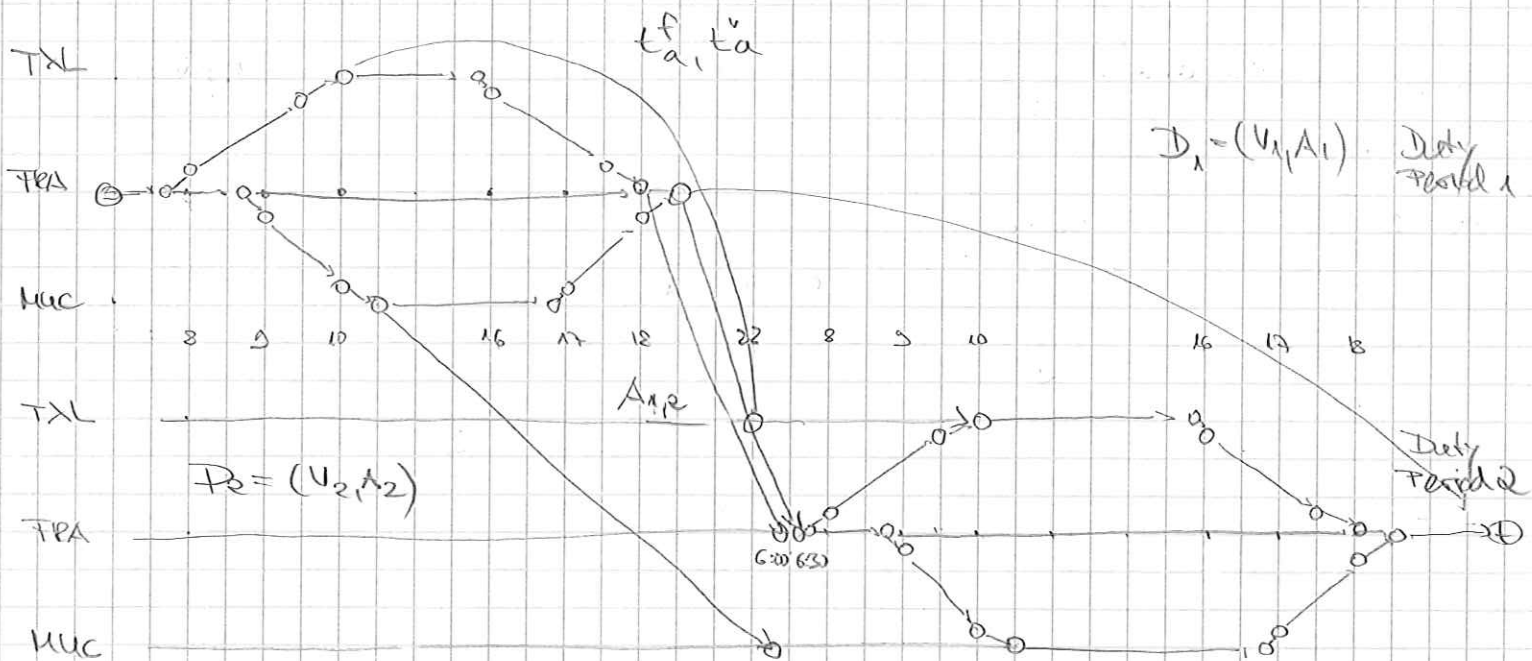


Aggregation (Pascosias et al.)



Bsp. 2. DV Welt 30

Größe	Symbol	Regel
Blockzeit	t^b	
check-in	t^{cin}	$\geq 0:30$
check-out	t^{cout}	$\geq 0:15$
Transportzeit	t^{dt}	$= \begin{cases} t/2 & 0 \leq t \leq 4:00 \\ 2+t-4 & t > 4:00 \end{cases}$ "Selbstfahrer" "Sollankommen" "Vor/Wachzeitpunkt"
Flugblockzeit	t^f	$= t^{cin} + t^b + t^{cout} + t^{dt} \leq 10:00 + t^s$
Verlängerung	t^s	$\leq 4 \begin{cases} -1 & 0:00 \leq t^u \leq 4:00 \\ -2 & 4:00 < t^u \end{cases} \quad \left. \begin{matrix} \begin{cases} -1 & 4 \leq n^e \leq 5 \\ -2 & 6 \leq n^e \end{cases} \end{matrix} \right\}$
Nachtflugzeit	t^n	$\sum_{7\text{-Tage}} t^s \leq 8$
Landungen	n^e	$= t^f \cap [01:00, 07:00] \text{ loc. Start airport}$
Reisezeit	t^r	$\geq 10:00$



i) Priority-Problem ohne Verlängerung (Zirkuläre Wkg-Problem mit lin. Nebenbed.)

min $\sum \tilde{c}_a x_a$

$$x(\delta^+(s)) = x(\delta^-(t)) - 1$$

$$x(\delta^+(v)) = x(\delta^-(v)) \quad \forall v \neq s, t$$

$$\sum_{a \in A_i} t_a^f x_a \leq 10:00 \quad \forall \text{Duty periods } i$$

$$-\sum_{a \in A_{i+1}} t_a^v x_a \leq -10:00 \quad \forall \text{ " } i$$

$$x_a \in \{0, 1\} \quad \forall a$$

$$c_a = \begin{cases} 1, & a = sv \\ 0, & \text{sonst} \end{cases}$$

min # Fluges (C=C#)

$$c_a = t_a^f$$

min Flugesamtzeit

$$c_a = \begin{cases} 1, & a = sv, a \in A_{i+1} \\ 0 \end{cases} \quad \text{min # Duty periods (Produktionstage)}$$

ii) Priority-Problem mit Verlängerung (Zirkuläre Wkg-Problem mit komplexen Nebenbed.)

min $\sum \tilde{c}_a x_a$

$$x(\delta^+(s)) = x(\delta^-(t)) = 1$$

$$x(\delta^+(v)) = x(\delta^-(v)) \quad \forall v \neq s, t$$

$$-\sum_{a \in A_{i+1}} t_a^v x_a \leq -10:00 \quad \forall i$$

$$\sum_{a \in A_i} t_a^f x_a \leq 10:00 + t_i^s \leq 14:00 \quad \forall i$$

$$\sum_{i=j} t_i^s \leq 8:00 \quad \forall j$$

$$\begin{aligned}
 t_i^s &\leq 4:00 - x_i^n \cdot 1:00 && - y_i^n \cdot 1:00 - y_i^w \cdot 1:00 && \forall i \\
 \sum_{a \in A_i} t_a^n x_a - 2:00 &\leq 2:00 x_i^w && && \forall i \\
 \sum_{a \in A_i} n_a^e x_a - 4 &\leq y_i^n + M y_i^w && && \forall i \\
 y_i^n &\geq y_i^w \\
 x_a &\in \{0,1\} && && \forall a \\
 t_i^s &\geq 0 && && \forall i \\
 x_i^n, y_i^n, y_i^w &\in \{0,1\} && && \forall i
 \end{aligned}$$

M. Das Arzgeisliche Ressourcenbeschränkte Direkt-Weg-Problem

Def. (Arzgeisliches Ressourcenbeschränkt. Direkt-Weg-Problem (ARCSP)):

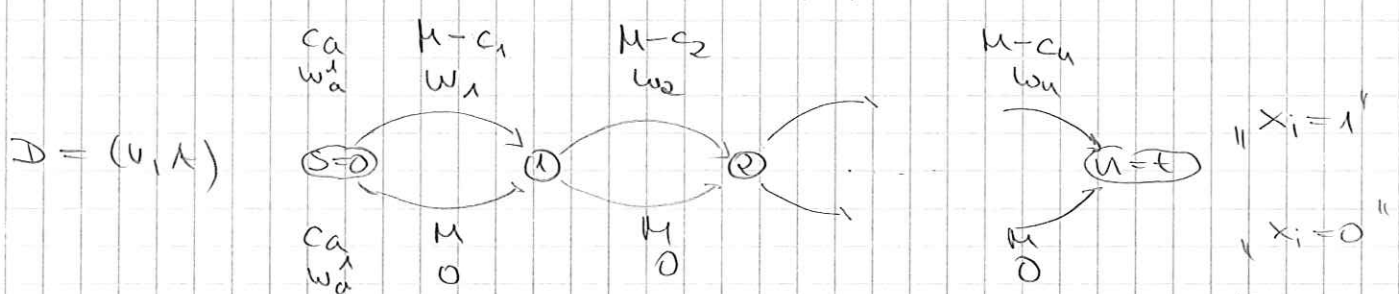
- $D = (V, A)$ Digraph (arzgeislich)
- $s, t \in V$ Quelle, Senke
- R Menge von Ressourcen
- $w_a^r \in \mathbb{R}$ Verbrauch von Ressource r auf Kante a
- $u^r \in \mathbb{R}$ Limit für den Verbrauch von Ressource $r \in R$
- $c_a \in \mathbb{R}$ Kosten
- Def.: p st-Path in D
- $w_p^r = \sum_{a \in p} w_a^r$ Verbrauch von Ressource r auf p
- $w_p^r \leq u^r \quad \forall r$ p zulässig

Def.: wenn $c_p, w_p^r \leq u^r \quad \forall r \in R$

Prop.: ARCSP \in NPH.

Bew.: Transformation des Rucksackproblems (KP) auf (ARCSP).

$$\begin{aligned}
 (KP) \quad \max \quad &\sum c_i x_i \\
 \sum w_i x_i &\leq u \\
 x_i &\in \{0,1\} \quad i=1, \dots, n
 \end{aligned}$$



$$\Rightarrow c_p = n \cdot M - \sum_{v \in V} c_v$$

" $x_i = 1$ "
" $x_i = 0$ "
□ (26)

Def. (IP-Formulierung des APCSP): Mit $x_a \in \{0,1\} \forall a \in A$ ergibt sich folgende IP-Formulierung des (APCSP):

(APCSP) mit $\sum_a c_a x_a$

$$x(S^+(v)) - x(S^-(v)) = s_{sv} - s_{tv} \quad \forall v \in V$$

$$w^r(x) \leq u^r \quad \forall r \in R$$

$$x_a \in \{0,1\} \quad \forall a \in A.$$

Beachte: Im nicht arzythmetischen Fall müssen zu dieser Formulierung noch Integritätsbedingungen wie beim TSP hinzugefügt werden!

Bsp: Lösung eines APCSPs mit Knapplage-Relaxierung

S. altes Script S. 17-19.

mit $c^T x$

$$x(S^+(v)) - x(S^-(v)) = s_{sv} - s_{tv}$$

$$w^r(x) + s^r = u^r$$

$$x_a \in \{0,1\} \quad \forall a$$

$$s^r \geq 0 \quad \forall r$$

$$= \max_{x, \lambda} c^T x - \sum \lambda_r (w^r(x) + s^r - u^r)$$

$$\lambda > 0 \Rightarrow \min = -\infty$$

$$\lambda < 0 \Rightarrow s^r = 0$$

$$x(S^+(v)) - x(S^-(v)) = s_{sv} - s_{tv}$$

$$x_a \in \{0,1\} \quad \forall a$$

$$s^r \geq 0 \quad \forall r$$

$$= \max_{x, \lambda \geq 0} c^T x + \sum \lambda_r (w^r(x) - u^r)$$

$$x(S^+(v)) - x(S^-(v)) = s_{sv} - s_{tv}$$

$$x_a \in \{0,1\} \quad \forall a$$

$$s^r \geq 0 \quad \forall r$$

Algorithmus: Dyu. Prog. für das 1-RCSF mit nichtneg. Gewichten und Balken

Voraussetzung: 1-RCSF, d.h. $k=1$, $w_i := w_i^1 \in \mathbb{N}_0^+$, $d = d^1$, $c \in \mathbb{N}_0^+$

Def.: Sei $D = (V, A)$ ein Digraph keine Folge von Punkten

$(j_1, j_2, j_3, \dots, j_r, j_e)$ aus A mit nicht notwendigerweise verschiedenen Punkten j_i heißt eine j_1, j_e -Zelle.

Bew.: keine Zelle ist ein Pfad genau dann wenn $j_i \neq j_k \forall i, k \neq 1, r$

Def.: eine j_1 -Zelle k mit $w(k) \leq r$ heißt v -Zelle.

Lemma:

Alg. von Johnson (modifiziert)

$w \in \mathbb{N}^+$

Kp.: 1-RCSF mit $w, c \in \mathbb{N}_0^+$, $d \in \mathbb{N}_0$, finden Menge T

Ziel.: Tabelle $c_j(v)$, $j \in V$, $v=0, \dots, d$

Out.: Länge $c_t(d)$ eines kürzesten d -Zells von s nach t

for $v=0, \dots, d$ { $c_s(v) \leftarrow 0$ }

forall $j \in V \setminus \{s\}$. { $c_j(0) \leftarrow \infty$ }

for $v=1, \dots, d$ {

forall $j \in V \setminus \{s\}$ { $c_j(v) \leftarrow \min\{c_j(v-1), c_i(v-w_j) + c_{ij}, \begin{matrix} i \in A \\ 1 \leq w_{ij} \leq v \end{matrix}\}$ } (3)

for ($H \leftarrow V$; $i \leftarrow \arg \min_{j \in H} c_j(v)$; $H \leftarrow H \setminus T$) {

$T \leftarrow \{j \in V : \exists 0-T\text{-Pfad von } i \text{ nach } j\}$ } (4)

forall $j \in T$ { $c_j(v) \leftarrow c_i(v)$ } (5)

gib $c_t(d)$ aus

+ wenn $c(T_{ij})$
 $P_{ij} \in T$

Beds.: Da nach Alg. von Johnson hat eine Laufzeit von $O(d \cdot m + d \cdot n \log n)$

und einen Speicherbedarf von $O(nd)$

Zgr.: (1)-(3) : $O(d) + O(n) + O(dm)$

(4) : $O(d \cdot n \log n)$ (wird nur einmal sortiert)

(5) : $O(dm)$ (wird jeweils bfs durchgef.)

(6) : $O(dn)$



Folj.: Der Alg. von Johnson braucht auch die Länge eines kürzesten d -Pfad von s nach t .

Zgr.: alternative ggf. Weise mit Gewicht 0.

(*) Lemma: Sei $c_j(v)$ die Länge einer kürzesten v -Kette von s nach j .
Dann gilt die Rekursion

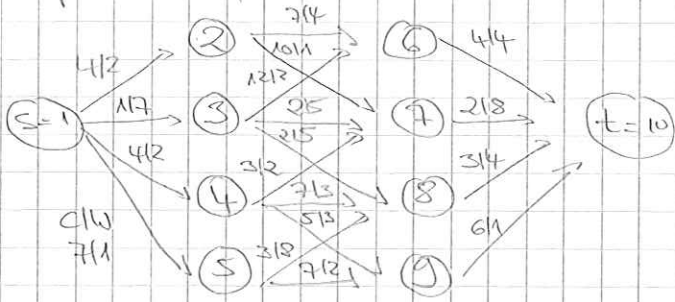
$$c_s(v) = 0, \quad v = 0, \dots, d$$

$$c_j(v) = \infty, \quad j \neq s$$

$$c_j(v) = \min \{ c_j(v-1), c_i(v-w_j) + c_{ij}, \quad ij \in A, w_{ij} \leq v, r=1, \dots, d, j \neq s \}$$

Beweis: Induktives Optimalitätsprinzip. \square

Ispr.: $b=1, w_i x \leq 10$



a) Alg. von Johnson (Push-Strategie)

$r =$	10	0	↑	↑	↑	↑	↑	↑	↑	↑	↑	↑	↑	↑	↑	↑	↑	↑	↑	↑	
	9	0	↑	↑	↑	↑	↑	↑	↑	↑	↑	↑	↑	↑	↑	↑	↑	↑	↑	↑	15
	8	0	↑	↑	↑	↑	↑	↑	↑	↑	↑	↑	↑	↑	↑	↑	↑	↑	↑	↑	9
	7	0	↑	↑	↑	↑	↑	↑	↑	↑	↑	↑	↑	↑	↑	↑	↑	↑	↑	↑	9
	6	0	9	-	↑	↑	↑	↑	↑	↑	↑	↑	↑	↑	↑	↑	↑	↑	↑	↑	15
	5	0	↑	-	↑	↑	↑	↑	↑	↑	↑	↑	↑	↑	↑	↑	↑	↑	↑	↑	9
	4	0	↑	-	↑	↑	-	7	-	↑	20	-	-	-	-	-	-	-	-	-	-
	3	0	↑	-	↑	↑	-	14	-	14	-	-	-	-	-	-	-	-	-	-	-
	2	0	4	-	4	↑	-	-	-	-	-	-	-	-	-	-	-	-	-	-	-
	1	0	-	-	-	7	-	-	-	-	-	-	-	-	-	-	-	-	-	-	-
$r=0$	0	0	0	-	-	-	-	-	-	-	-	-	-	-	-	-	-	-	-	-	-
			1	2	3	4	5	6	7	8	9	10									

b) Alg. von Hoffman

$c =$	20	0																			
	19	0																			
	18	0																			
	17	0																			
	16	0																			
	15	0																			
	14	0																			6
	13	0	↑	↑	↑	↑	↑	↑	↑	↑	↑	↑	↑	↑	↑	↑	↑	↑	↑	↑	3
	12	0	↑	↑	↑	↑	↑	↑	↑	↑	↑	↑	↑	↑	↑	↑	↑	↑	↑	↑	3
	11	0	↑	↑	↑	↑	↑	↑	↑	↑	↑	↑	↑	↑	↑	↑	↑	↑	↑	↑	3
	10	0	↑	↑	↑	↑	↑	↑	↑	↑	↑	↑	↑	↑	↑	↑	↑	↑	↑	↑	3
	9	0	↑	↑	↑	↑	↑	↑	↑	↑	↑	↑	↑	↑	↑	↑	↑	↑	↑	↑	5
	8	0	↑	↑	↑	↑	↑	↑	↑	↑	↑	↑	↑	↑	↑	↑	↑	↑	↑	↑	-
	7	0	↑	↑	↑	↑	↑	↑	↑	↑	↑	↑	↑	↑	↑	↑	↑	↑	↑	↑	-
	6	0	↑	↑	↑	↑	↑	↑	↑	↑	↑	↑	↑	↑	↑	↑	↑	↑	↑	↑	-
	5	0	↑	↑	↑	↑	↑	↑	↑	↑	↑	↑	↑	↑	↑	↑	↑	↑	↑	↑	-
	4	0	2	↑	↑	↑	↑	↑	↑	↑	↑	↑	↑	↑	↑	↑	↑	↑	↑	↑	-
	3	0	-	↑	↑	↑	↑	↑	↑	↑	↑	↑	↑	↑	↑	↑	↑	↑	↑	↑	-
	2	0	-	↑	↑	↑	↑	↑	↑	↑	↑	↑	↑	↑	↑	↑	↑	↑	↑	↑	-
	1	0	-	↑	↑	↑	↑	↑	↑	↑	↑	↑	↑	↑	↑	↑	↑	↑	↑	↑	-
$c =$	0	0	0	-	-	-	-	-	-	-	-	-	-	-	-	-	-	-	-	-	-
			1	2	3	4	5	6	7	8	9	10									

Beob.: Das Problem, in einem Digraph mit nicht neg. Kosten einen kürzesten Weg mit höchstens k Kanten zu finden, ist polynomial lösbar, genauer ist $O(km) \leq O(nm)$

Begr.: $k=1, d=k$

Frage: Das Problem, in einem Digraph mit nicht neg. Kosten einen kürzesten Weg mit genau k Kanten zu finden, ist nicht polynomial lösbar

Frage: $k=n$ liefert das ATSP

Alg.: Dyn. Prog. für das 1-PCSP mit nicht neg. Gewichten und positiven Kosten

Voraus.: 1-PCSP, d.h. $k=1, w := w' \in \mathbb{N}_0^A, d \in \mathbb{N}_0, c \in \mathbb{N}^A$

Lemma: Seien OPT die (zumindest unbedeutenden) Kosten eines kürzesten d -Wegs von s nach t .

Sei $w_j(c)$ die mit Dyn. Programmierung eines j -Wegs mit Kosten $\leq c$, $c=0, \dots, OPT, j \in V$

Dann gilt die Rekursion

$$w_s(c) := 0, \quad c=0, \dots, OPT$$

$$w_j(0) := \infty, \quad j \in V \setminus \{0\}$$

$$w_j(c) := \min \{ w_j(c-1), \min_{\substack{i \in A, c_{ij} \leq c \\ c=1, \dots, OPT, j \in V \setminus \{s\}}} w_i(c-c_{ij}) + w_{ij} \}$$

Alg. von Hassler [1992]

Up.: 1-PCSP mit $D=(V,A), w \in \mathbb{N}_0^A, d \in \mathbb{N}_0$ und pos. Kosten

Inf.: Tabelle $w_j(c), c=0, \dots, OPT$ (wird dyn.), $j \in V$

Ans.: Länge OPT eines kürzesten d -Pfadcs von s nach t .

```

w_s(0) ← 0
forall j ∈ V \ {s} { w_j(0) ← ∞ }
for c = 1, 2, ... {
  w_s(c) ← 0
  forall j ∈ V \ {s} { w_j(c) ← min { w_j(c-1), min_{i ∈ A, c_{ij} ≤ c} w_i(c-c_{ij}) + w_{ij} } }
  if w_t(c) < ∞ { OPT ← c; gib OPT aus; ende }
}

```

DTU



Bestimmung: Der Algorithmus von Janssen hat eine Laufzeit von $O(nd)$ und Speicherplatzbedarf $O(nd)$.

Folgerung: RCSPs mit einer Resource können in $O(nd)$ und Speicherplatzbedarf $O(n^2d)$ gelöst werden.

Folgerung: RCSP mit einer Resource ist schwerer NP-halt.

Algorithmus: Dynamische Programmierung für das RCSP mit einer Res. und pos. Kosten

(Nassia [1992])

Sei $C \in \mathbb{N}^A$

(minimale Wert bestimmen)

• Annahme: Sei $g_j(c)$ der maximale Ressourcenverbrauch eines s_j -Pades mit Kosten $\leq c$. Die Werte eines kürzesten d-Wegs von s nach t finden sich die Rekursion

(W)

$$g_s(c) := 0, \quad c=0, \quad \text{OPT}$$

$$g_j(0) := -\infty, \quad j \in V \setminus \{s\}$$

$$g_j(c) := \min \{ g_j(c-1), g_i(c-c_{ij}) + w_{ij}, i \in A, c_{ij} \leq c \}$$

$$c=1, \dots, \text{OPT}, j \in V \setminus \{s\}$$

Alg. von Nassia

Input: RCSP ($k=1$) mit $D=(V,A)$, $w \in \mathbb{N}_0^A$, pos. Daten $c \in \mathbb{N}^A$, $d \in \mathbb{N}_0$

Datenstr. Tabelle $g_j(c), j \in V, c=0, \dots, \text{OPT}$

$p_j(c), j \in V, c=0, \dots, \text{OPT}$

Output: Kürzester d-Weg von s nach t , Länge OPT^{a_1}

Init.: $g_s(0) \leftarrow 0, p_s(0) \leftarrow \emptyset$

forall $j \in V \setminus \{s\}$ { $g_j(0) \leftarrow -\infty, p_j(0) \leftarrow \emptyset$ }

Schleife: forall $c=1, \dots$ {

~~$g_s(c) \leftarrow 0, p_s(c) \leftarrow \emptyset$~~

forall $j \in V \setminus \{s\}$ { $g_j(c) \leftarrow \min \{ g_j(c-1), g_i(c-c_{ij}) + w_{ij}, i \in A, c_{ij} \leq c \}$

$p_j(c) \leftarrow \arg \min g_j(c)$
if $g_t(c) < \infty$ { $\text{OPT} \leftarrow g_t(c); \text{break}$ }

Ausgabe: opt^{a_1}

$j \leftarrow i, i \leftarrow p_j(c), \text{ gib } j, i \text{ aus}$

while $i \neq s \{ c \leftarrow c - c_{ij}, j \leftarrow i, i \leftarrow p_j(c), \text{ gib } i \text{ aus} \}$

Lemma: Der Alg. von Horowitz hat eine Laufzeit von $O(n \cdot OPT)$ und einen Speicherplatzbedarf von $O(n \cdot OPT)$.

Folg.: Der Alg. von Horowitz löst alleg. PCSPs in $O(n \cdot OPT)$ und einem Speicherplatzbedarf von $O(n^2 \cdot OPT)$.

Vollpolynomiales Approximationsschema für PCSP und eines Pos

Idee 1: Horowitz poly. Test für $OPT \geq V$ und bestimme V mit binärer Suche in $\{0, \dots, UB\}$, z.B. $UB = n \cdot \max c_{ij}$. Dann ist das Optimum in $O(\log UB)$ Aufrufen des Tests gefunden.

PCSP NP-Test \Rightarrow verwenden approx. Test auf

$$OPT \geq V \quad \text{oder} \quad OPT < V(1+\epsilon) \quad \text{für } 0 < \epsilon < 1$$

Def.: Ein Alg. A ist ein ϵ -approximier. Alg. für ein Minimierungsproblem mit Opt. Lösung c^* und $\epsilon > 0$ wenn A für jede Instanz des Opt.p. eine Lösung mit Wert c^A findet, so dass

$$c^A \leq (1+\epsilon) c^* \quad (\text{FAS})$$

Ein Alg. ist ein poly. Approx. Schema, wenn A für jedes $\epsilon > 0$

ein ϵ -approx. Alg. ist

Ein Alg. A ist ein poly. Approx. Schema, wenn A ein FAS ist

dessen Laufzeit poly. in $\frac{1}{\epsilon}$ ist.

Idee 2: Beide Horowitz zu

$$\tilde{c}_{ij} \leftarrow \left\lfloor \frac{c_{ij}}{V\epsilon/(n-1)} \right\rfloor \cdot V\epsilon/(n-1)$$

$$\Rightarrow c_{ij} \geq \tilde{c}_{ij} \geq c_{ij} - V\epsilon/(n-1)$$

$$\Rightarrow C(P) \geq \tilde{C}(P) \geq C(P) - V\epsilon$$

$$\Rightarrow \left[\tilde{C}(P) \geq V \Rightarrow C(P) \geq V \right]$$

$$\Rightarrow \left[\tilde{C}(P) < V \Rightarrow C(P) \leq \tilde{C}(P) + V\epsilon \leq V(1+\epsilon) \right]$$

\Rightarrow Wende Alg. von Horowitz mit Problem $\left[\frac{c_{ij}}{V\epsilon/(n-1)} \right]$

Lemma: Der Alg. von Horowitz hat eine Laufzeit von $O(\text{OPT} \cdot n)$ und einen Speicherplatzbedarf von $O(\text{OPT} \cdot n)$.

Beob.: Analog zum Alg. von Johnson kann der Alg. von Horowitz so modifiziert werden, dass er alle 1-PCSPs mit Wirkungsgewichten und Kosten in $O(\text{OPT}n + \text{OPT} \log n)$ löst.

Alg. ϵ -Approximation des 1-PCSP

Up.: 1-PCSP mit $D=(V, A)$, $w, c \in \mathbb{N}_0^A$, $d \in \mathbb{N}_0$

Schreiben $L, U \in \mathbb{N}$ mit $L \leq \text{OPT} \leq U \leq 2L$

Approx. Güte $0 \leq \epsilon < 1$

Def.: gewichtete Kosten \bar{c}_{ij} , $ij \in A$

Def.: Menge V eines d -Fades von s nach t mit $\text{OPT} \leq V \leq (1+\epsilon)\text{OPT}$

$$\text{forall } ij \in A \left\{ \bar{c}_{ij} \left\lfloor \frac{c_{ij}}{\epsilon L / (n-1)} \right\rfloor \right\} \quad (7)$$

$$\overline{\text{OPT}} \leftarrow \text{Alg von Horowitz für 1-PCSP mit } D, w, \bar{c}, d \quad (8)$$

$$\bar{P} \leftarrow \bar{P}\text{-fad mit } c(\bar{P}) = \overline{\text{OPT}} \quad (9)$$

$V \leftarrow c(\bar{P})$, gib V aus

Lemma: Das obige ϵ -Approx. Schema ist korrekt.

Bew.: Sei P der kürzeste d -Fad von s nach t bzgl. c

$$\tilde{c}_{ij} := \bar{c}_{ij} \cdot \frac{L\epsilon}{n-1} \quad \forall ij \in A$$

$$\Rightarrow c_{ij} \geq \tilde{c}_{ij} \geq c_{ij} - \frac{L\epsilon}{n-1} \quad \forall ij$$

$$\Rightarrow c(P) \geq \tilde{c}(P) \geq \tilde{c}(\bar{P}) \geq c(\bar{P}) - L\epsilon \geq c(P) - L\epsilon$$

$$\Rightarrow \underbrace{c(P)}_{=\text{OPT}} + \underbrace{L\epsilon}_{\leq \text{OPT}\epsilon} \geq \underbrace{c(\bar{P})}_{=V} \geq \underbrace{c(\bar{P})}_{=\overline{\text{OPT}}}$$

$$\Rightarrow \text{OPT}(1+\epsilon) \geq V \geq \overline{\text{OPT}}$$

Lemma: Die Laufzeit des obigen ϵ -Approx. Schemas ist $O\left(\frac{mn^2}{\epsilon} + \frac{n^3}{\epsilon} \log n\right)$.

Begr.: (7): $\frac{c_{ij}(n-1)}{\epsilon L} \leq \frac{U(n-1)}{L \cdot \epsilon} \leq 2(n-1) \cdot \frac{1}{\epsilon}$

$\Rightarrow \bar{c}_{ij}$ (ganzzahlige Werte $\leq 2(n-1) \cdot \frac{1}{\epsilon}$) kann in

$O\left(\log \frac{n}{\epsilon}\right)$ berechnet werden

(8): $O\left(\underbrace{m \max \bar{c}_{ij}}_{\leq 2(n-1) \cdot \frac{1}{\epsilon}} \cdot n + \underbrace{m \max \bar{c}_{ij} \log n}_{\leq 2(n-1) \cdot \frac{1}{\epsilon}}\right) = O\left(\frac{mn^2}{\epsilon} + \frac{n^3}{\epsilon} \log n\right)$

(9): $O(n)$



Relaxierung für das RCSP in azyklischen Digraphen

Def. $D = (V, A)$ azyklisch : $\Leftrightarrow D$ enthält keinen gerichteten Kreis.

Lemma: $D = (V, A)$, $V = \{1, \dots, n\}$

D azyklisch $\Leftrightarrow \exists$ Permutation $\pi: \{1, \dots, n\} \rightarrow \{1, \dots, n\}$: $A \subseteq \{\pi_i \pi_j : i < j\}$

Def. : π wie im Lemma heißt topologische Ordnung von V .

Alg. Top. Ordnen

Input: Digraph $D = (V, A)$

Output: Top. Ordnung π oder gerichteter Kreis $C \in D$

for ($i \leftarrow 1$; $V \neq \emptyset$; $i \leftarrow i+1$)

if ($\exists v : S^+(v) = \emptyset$) { $\pi_i \leftarrow v$ }

else { stark in irgendeinem Punkt, wodurch Punkt v und alle bis
sich ein Zyklus v wiederholt, $C \leftarrow$ Punktefolge $v \rightarrow v'$, gib C aus
ende }

Lemma: Alg. Top. Ordnen ist korrekt

Bew. Induktion.

Def. Azyklisches RCSP (ARCSP)

RCSP = ARCSP : $\Leftrightarrow D = (V, A)$ azyklisch.

O.B.d.A. $s=1, t=n$.

Zem.: Viele Probleme im Vorleser liegen ARCSPs zugehörig, z.B. VSP, DSP etc.

1. : geg. Sei ein ARCSP mit $D = (V, A)$, $|V|=n$, $|A|=m$, $|R|=r$,

$$W = \begin{pmatrix} w^1 \\ \vdots \\ w^m \end{pmatrix} \in \mathbb{N}_0^{m \times m}, \quad d = \begin{pmatrix} d^1 \\ \vdots \\ d^r \end{pmatrix} \in \mathbb{N}^r, \quad c \in \mathbb{Z}^m$$

(ARCSP) min $c^T x$

$$x(S^+(v)) - x(S^-(v)) = S_m(v) \quad \forall v \in V \quad (i)$$

$$w^r x \leq d^r \quad \forall r \in R \quad (ii)$$

$$x \geq 0 \quad (iii)$$

$$x \in \mathbb{Z}^m \quad (iv)$$

ist eine IP-Formulierung von ARCSP, wobei

$$S_m(v) := \begin{cases} 1 & v=1 \\ 0 & v \neq 1, n \\ -1 & v=n \end{cases}$$

(ARCSP) min $c^T x$, $x(S^+(v)) - x(S^-(v)) = S_m(v)$, $w^r x \leq d^r$, $x \geq 0$

die LP-Relax. von ARCSP

Lemma: (ARCSP) ist eine IP-Formulierung von ARCSP.

Bem.: (i), (iii), (iv) $\Rightarrow x$ ist ein ganzzahliger Fluss $\Leftrightarrow x$ ist genau 1 m -Faktor $\Rightarrow x \in \{0, 1\}^m$

Def. $APCS^*$ unaktiv. $\Leftrightarrow APCS^*$ zed.
 Lemma: $APCS^*$ nichtaktiv \Leftrightarrow min $w^T x$ $\leq d^v \forall v \in R.$
 $x(S^+(v)) - x(S^-(v)) = S_{in}(v)$
 $x \geq 0$

(Zeige.) Linear-Opt-Problem

Def. Lagrange-Relaxierung. zpg. zu $APCS^*$. Für $\lambda \in \mathbb{R}_+^k$ setze

$$\bar{c}^T := \bar{c}^T(\lambda) := c^T + \lambda^T W$$

$$f(\lambda) := \min \underbrace{c^T x + \lambda^T (Wx - d)}_{\bar{c}^T x}, \quad x(S^+(v)) - x(S^-(v)) = S_{in}(v), \quad x \geq 0$$

$$x^*(\lambda) := \text{argmin } f(\lambda) \quad (\text{Mehrfach. eindeutig aufgelöst})$$

$$L := \max_{\lambda \geq 0} f(\lambda) = \max_{\lambda \geq 0} \bar{c}^T x - \lambda^T d, \quad x(S^+(v)) - x(S^-(v)) = S_{in}(v), \quad x \geq 0$$

Lagrange-Relax. von $(APCS^*)$.

Lemma:

(i) $f(\lambda), x^*(\lambda)$ sind wohldef. \checkmark

(ii) L ist wohldef.

Bsp: (a) x Lsg von $APCS^* \rightarrow Wx - d \leq 0 \Rightarrow \bar{c}(\lambda)^T x = c^T x + \lambda^T (Wx - d) \leq c^T x < \infty$.

(b) $f(\lambda) = \min_{\text{Prüf. in } \mathbb{R}^n} \bar{c}^T x - \lambda^T d \Rightarrow f$ kann über eine endl. Menge aff. Funt. $\rightarrow \max_{x \geq 0} \bar{c}^T x$.

(iii) \forall Lsg. x von $(APCS^*), \forall u \in \mathbb{R}_+^k$ gilt: $c^T x \geq \bar{c}^T x - \lambda^T d$

d.h. $\bar{c}^T x - \lambda^T d$ ist immer eine untere Schranke für $c^T x$

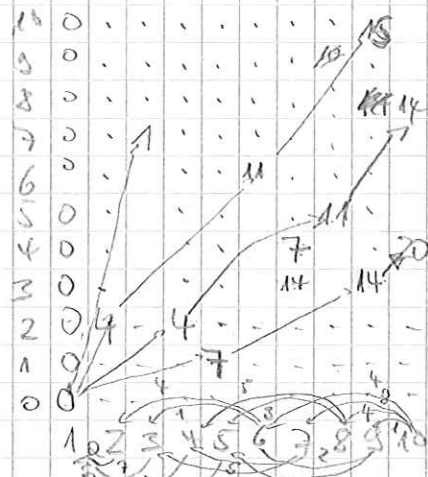
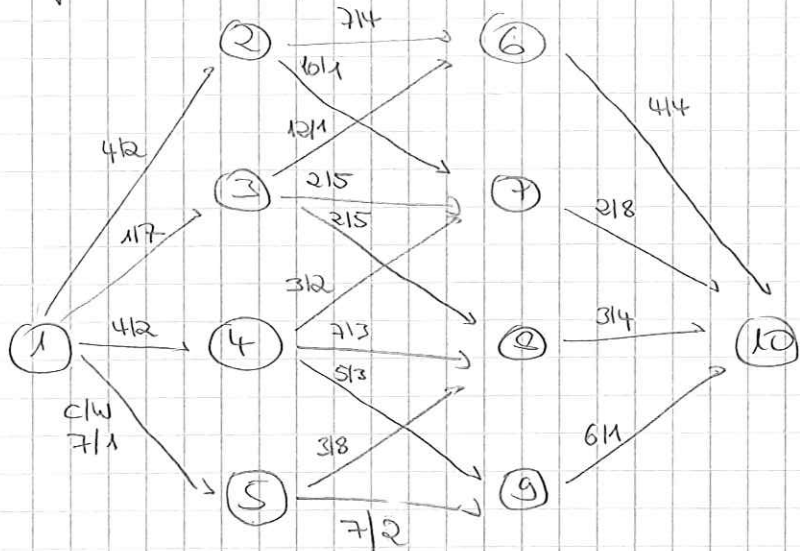
(iv) $L = \max_{\lambda \geq 0} f(\lambda) = \min_{x(S^+(v)) - x(S^-(v)) = S_{in}(v), Wx \leq d, x \geq 0} c^T x$

$$\text{Bsp: } \min_{\substack{x(S^+(v)) - x(S^-(v)) = S_{in}(v) \\ Wx \geq -d \\ x \geq 0}} c^T x \quad \Leftrightarrow \max_{\substack{\mu^T S_{in} - \lambda^T d \\ \mu^T A - \lambda^T W \leq c^T \\ \lambda \geq 0}} \mu^T S_{in} - \lambda^T d$$

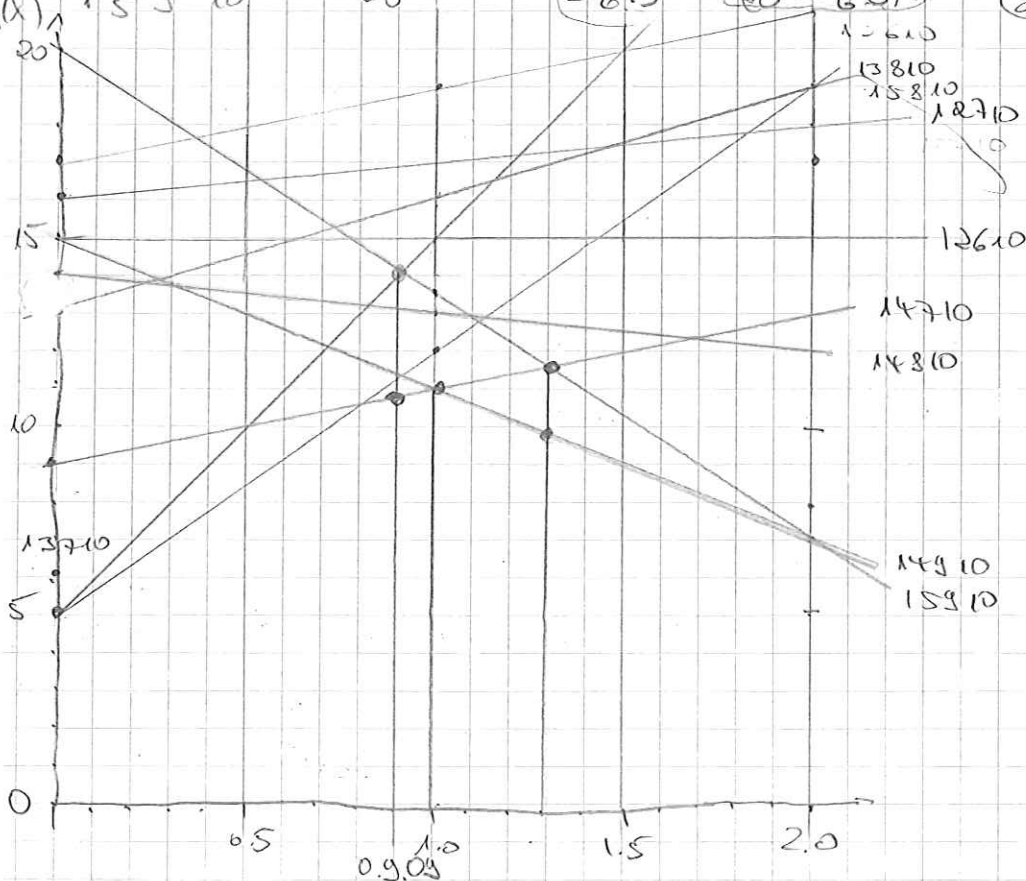
$$\Leftrightarrow \max_{\lambda \geq 0} \min_{\substack{x(S^+(v)) - x(S^-(v)) = S_{in}(v) \\ x \geq 0}} (c^T + \lambda^T W)x - \lambda^T d \quad \Leftrightarrow \max_{\lambda \geq 0} -\lambda^T d + \max_{\mu^T A \leq c^T + \lambda^T W} \mu^T S_{in}$$

Bem. Die Lagrange-Rel. kann nur einem Subproblem zpf. gelöst werden.

Ex. : $b_2 = 1$, $w^T x \leq 10 \Leftrightarrow -w^T x \geq -10 \Leftrightarrow 10 - w^T x \geq 0$



i	X	$c^T x$	$w^T x - 10$	$f_i(\lambda) = c^T x + \lambda (w^T x - 10) = c^T x - \lambda (10 - w^T x)$
1	1 2 6 10	15	0	15
2	1 2 7 10	16	1	$16 + \lambda$
3	1 3 6 10	17	2	$17 + 2\lambda$
4	1 3 7 10	5	10	$5 + 10\lambda$ (1)
5	1 3 8 10	6	16	$6 + 6\lambda$
6	1 4 7 10	9	2	$9 + 2\lambda$ (3) ← worst sol.
7	1 4 8 10	14	-1	$14 - \lambda$ (4) ← IP-optimal
8	1 4 9 10	15	-4	$15 - 4\lambda$ (4) ← worst opt.
9	1 5 8 10	13	3	$13 + 3\lambda$
10	1 5 9 10	20	-6.5	$20 - 6.5\lambda$ (2)



$$5 + 10\lambda = 20 - 6.5\lambda \Leftrightarrow 15 = 16.5\lambda = \frac{33}{2}\lambda \Leftrightarrow \lambda = \frac{15 \cdot 2}{33} = 0.909$$

$$9 + 2\lambda = 20 - 6.5\lambda \Leftrightarrow 11 = 8.5\lambda = \frac{17}{2}\lambda \Leftrightarrow \lambda = \frac{22}{17} = 1.2941...$$

$$15 - 4\lambda = 9 + 2\lambda \Leftrightarrow 6 = 6\lambda \Leftrightarrow \lambda = 1.0$$

Lemma: ^{wichtig!} Sei $\lambda \geq 0$, A - λ -RCSP, $\lambda \geq 0$.

$$T_{ij} = \{P: P_{ij} = P_{j,i} \text{ (od. } \infty)\}$$

$$\tilde{c}_{ij} = \min_{P \in T_{ij}} c(P)$$

$$\tilde{w}_{ij} = \min_{P \in T_{ij}} w(P)$$

$$\bar{c}_{ij} = \min_{P \in T_{ij}} \bar{c}(P)$$

Sei $j \in V$, $P \in T_{ij}$, $Q \in T_{jn}$.

$$c(P) + \tilde{c}_{jn} \leq c(P) + c(Q)$$

$$\bar{c}(P) + \tilde{c}_{jn} - \lambda d \leq \bar{c}(P) + \bar{c}(Q) - \lambda d \leq c(P) + c(Q)$$

$$w(P) + \tilde{w}_{jn} \leq w(P) + w(Q)$$

Alg. Bränd & Joend.

λ - A - λ -RCSP.

Out. Länge und kürzester λ - d -Weges.

if ($\min_{P \in P_{jn}} w(P) > d$) { gib es aus; Ende }

$$\lambda^* \leftarrow \operatorname{argmax}_{\lambda \geq 0} f(\lambda)$$

$$\bar{c} \leftarrow c - \lambda^* w$$

for all $j \in V$ { $\tilde{c}_{jn} \leftarrow \min_{P \in T_{jn}} c(P)$; $\tilde{w}_{jn} \leftarrow \min_{P \in T_{jn}} w(P)$; $\bar{c}_{jn} \leftarrow \min_{P \in T_{jn}} \bar{c}(P)$ } ^{$-\lambda^* d$}

$$L \leftarrow \{1\}; u \leftarrow c(\operatorname{argmin} w(P))$$

while ($L \neq \emptyset$) {

Wähle $P \in L$.

$$L \leftarrow L \setminus \{P\}$$

$i \leftarrow$ letzter Knoten in P

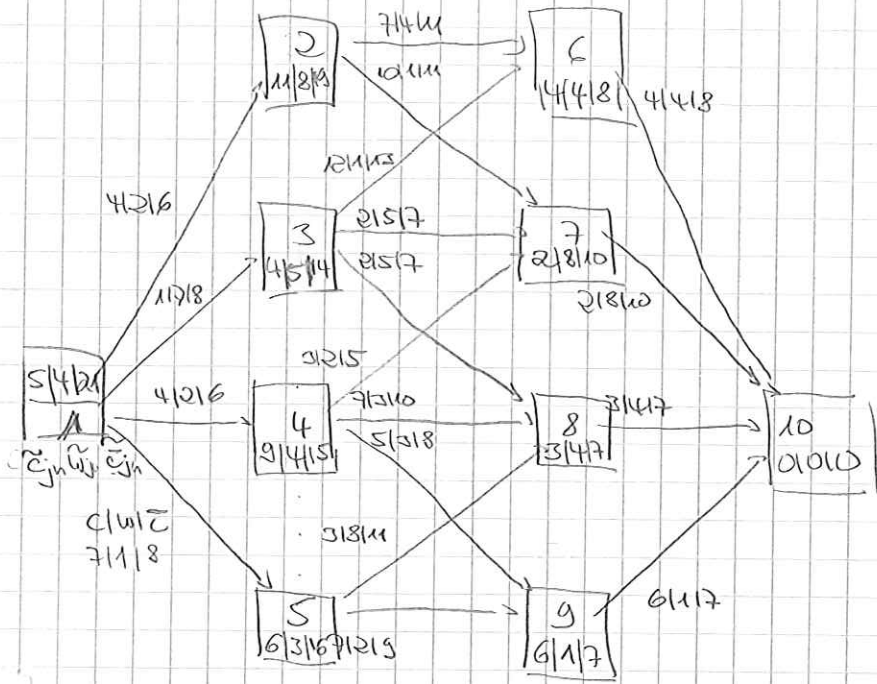
if ($c(P) + \tilde{c}_{in} \geq u$ \vee $w(P) + \tilde{w}_{in} > d$ \vee $\bar{c}(P) + \bar{c}_{in} \geq u$) { next }

if $i = u$ { $u \leftarrow \min\{u, c(P)\}$; break; }

for all $ij \in A$ { $L \leftarrow L \cup \{T_{ij}\}$ }

}

isp. (Falschung)



1
2
3
4
5
6
7
8
9
10

5
11
4
9
6
4
2
3
6
0

4
8
5
4
3
4
8
4
1
0

21
13
14
15
16
8
10
7
7
0

T	CC(T)	u(T)	$\bar{C}(T) - \lambda d$	$u = 15$
1	0	0	-10	
12	4	2	-4	
13	1	7	-2	
14	4	2	-4	
147	7	4	-1	
148	11	5	6	
14810	14	9	11	
149	9	5	4	
15	7	1	-2	$u = 14$

Dynamische Programmierung für das RCSP (Multilabel-Algorithmus)

Voraus.: RCSP mit Digraph $D = (V, A)$, $M = n$, $K = m$, Start- und Zielknoten $s, t \in V$, Ressourcen R , Ressourcenverbräuchen

$w \in \mathbb{N}_0^A$, Ressourcenlimits $d \in \mathbb{N}^R$, Kosten $c \in \mathbb{Z}^A$

a) Ein Tupel $(w_v, c_v) \in \prod_{v \in R} \{0, \dots, d_v\} \times \mathbb{Z}$ heißt Label von $v \in V$.

b) (w_v, c_v) zulässig als primales Label von $v \in V$

$\Leftrightarrow \exists$ st.-Tfad $P : w_v = w(P), c_v = c(P)$

c) (w_v, c_v) dominantes Label von $v \in V$

$\Leftrightarrow \nexists$ st.-Tfad $P : (w, c)(P) \not\leq (w_v, c_v)$.

Beh.: RCSP ist äquivalent zu einem Direkter-Weg-Problem in einem „ressourcen-
expandierten“ Digraphen mit $n \cdot \Delta$ Knoten, wobei $\Delta = \prod_{v \in R} d_v$

Beh.: Kodiert jeden Knoten v durch $\prod_{v \in R} d_v$ Tripel, die die kumulierten Ressourcen-
verbräuche bis v enumerieren und dabei entsprechen.

Beh.: Wenn $w_{ij} > 0 \forall ij \in A$ gilt, ist das res. exp. Digraph acyclisch und
ein kürzester st-wg kann in $O(\Delta^2)$ berechnet werden.

Idee: Schreibe nicht alle Ressourcenzustände explizit, sondern Schreibe
„dominierte“ implizit.

a) Seien $(w_v^1, c_v^1), (w_v^2, c_v^2)$ irgendwelche Labels (st. unart. oder prim. oder dual)

(w_v^1, c_v^1) dominiert (w_v^2, c_v^2) $\Leftrightarrow (w_v^1, c_v^1) \not\leq (w_v^2, c_v^2)$
(transitiv)

d) Sei P eine Menge von Labels von $v \in V$.

(w_v, c_v) effizient (bzgl. P) $\Leftrightarrow \nexists (w_v^1, c_v^1) \in P : (w_v^1, c_v^1) \text{ dom. } (w_v, c_v)$

$\text{eff}(P) := \{ (w_v, c_v) \in P : (w_v, c_v) \text{ effizient} \}$
 $= \{ (w_v^1, c_v^1), \dots, (w_v^k, c_v^k) \}$

f) Sei P eine Menge von Labels von v

$\bar{F}_P := \left\{ \begin{array}{l} X \{0, 1, \dots, d_v\} \rightarrow \mathbb{Z} \cup \{+\infty\} \\ w \mapsto \min \{ C_j, w_j \leq w, (w_j, C_j) \in P \} \end{array} \right.$

Kostenfunktion (zu P)

Beh.: $\bar{F}_+ = \bar{F}_{\text{eff}(+)}$, \bar{F}_P ist stückweise konstant.

g) Seien P und Q Mengen von primalem bzw. dualen Labels von $v \in V$.



$$x^*(MIP) = (1, \frac{2}{3}, 0, \frac{1}{3}) \quad \rightarrow (IP) = 3 + 2 + 1 = 6$$

$$X = \left[\begin{pmatrix} 0 \\ 0 \\ 0 \\ 0 \end{pmatrix}, \begin{pmatrix} 1 \\ 0 \\ 0 \\ 0 \end{pmatrix}, \dots, \begin{pmatrix} 0 \\ 0 \\ 0 \\ 1 \end{pmatrix}, \begin{pmatrix} 1 \\ 0 \\ 0 \\ 1 \end{pmatrix}, \begin{pmatrix} 0 \\ 1 \\ 1 \\ 0 \end{pmatrix} \right]$$

$$Y_1 = \left[\begin{pmatrix} 0 \\ 0 \\ 0 \\ 0 \end{pmatrix}, \begin{pmatrix} 1 \\ 0 \\ 0 \\ 0 \end{pmatrix}, \begin{pmatrix} 0 \\ 1 \\ 0 \\ 0 \end{pmatrix} \right] \quad Y_2 = \left[\begin{pmatrix} 0 \\ 0 \\ 0 \\ 0 \end{pmatrix}, \begin{pmatrix} 0 \\ 0 \\ 1 \\ 0 \end{pmatrix}, \begin{pmatrix} 0 \\ 0 \\ 0 \\ 1 \end{pmatrix} \right]$$

$$X \cap \left\{ x_{11} + x_{21} \leq 1, x_{12} + x_{22} \leq 1 \right\} = (Y_1 + Y_2) \cap \left\{ \gamma_{12} + \gamma_{22} \leq 1, \gamma_{13} + \gamma_{23} \leq 1 \right\}$$

$$(MIP) \max \quad 3\lambda_{12} + 3\lambda_{13} + 1\lambda_{22} + 1\lambda_{23}$$

$$\lambda_{12} + \lambda_{22} \leq 1$$

$$\lambda_{13} + \lambda_{23} \leq 1$$

$$\lambda_{12} + \lambda_{13} \leq 1$$

$$\lambda_{22} + \lambda_{23} \leq 1$$

$$\lambda > 0$$

$$\lambda \in [0, 1]^{2 \times 3}$$

$$x^*(MIP) = (0, 1, 0, 0, 0, 1) \quad \rightarrow (MIP) = 4 < 6 = v(IP)$$

Spaltenzerlegung und Branch & Price

Def. Sei $A \in \mathbb{Q}^{m \times n}$, $c \in \mathbb{Q}^n$, $b \in \mathbb{Q}^m$.

- a) (MIP) $\max c^T x, Ax \leq b, x \in \mathbb{Z}^n$ Master-LP
Master-IP
 b) Sei $J \subseteq \{1, \dots, n\}$ eine Teilmenge der Spalten von MIP.

- (RMP)(J) $\max c_J^T x_J, A_{\cdot J} x_J \leq b, x_J \in \mathbb{Z}^J$ Reduziertes Master-LP
Reduziertes Masters-IP
 c) Sei eine (nicht notwendigerweise optimale) Duals. von RLP

$$(PRICE)(\pi) \max_{j \in N} c_j - \pi^T A_{\cdot j} \quad \text{oder} \quad \text{Subproblem bzw. Pricing-Problem}$$

Alg.: Spaltenzerlegung (Glover & Gurov [1961])

Input: (RLP) $\max c^T x, Ax \leq b$ (Luv.: zulässig)

(PRICE) Orakel zur Lösung von (PRICE)(π)

Output: Opt. Lsg x^* von (MIP) $\max c^T x, Ax \leq b$

Def.: $c_J, A_{\cdot J}, x_J, J, \pi^*, j^*, x^*$

Lemma (Frankfort, Grötschel, Jöns [2001]): Sei $\epsilon > 0$ und ϵ -PRCE ein

ϵ -approximatives Verfahren zur Lösung von (PRCE), d.h. für $j_\epsilon = \text{argmax } \epsilon\text{-PRCE}$

gilt: $\max_{j \in N} (1-\epsilon)c_j - \pi^T A_{\cdot j} > 0 \Rightarrow c_{j_\epsilon} - \pi^T A_{\cdot j_\epsilon} > 0$.

Sei ferner $x_\epsilon = \text{solgen}(\text{MLP}, \epsilon\text{-PRCE})$, $\pi_\epsilon = \text{dual}(\text{solgen}(\text{MLP}, \epsilon\text{-PRCE}))$

und $x^* = \text{solgen}(\text{MLP}, \text{PRCE})$. Dann gilt:

$$c^T x_\epsilon \geq (1-\epsilon) c^T x^*.$$

$$\Rightarrow \pi_\epsilon^T A_{\cdot j} \geq (1-\epsilon) c_j$$

Bew.: Es gilt $(1-\epsilon)c_j - \pi_\epsilon^T A_{\cdot j} \leq 0 \quad \forall j \in N$, d.h. π_ϵ ist dual zulässig

für $\max c^T x, Ax \leq b$. Es folgt

$$c^T x_\epsilon = \pi_\epsilon^T b \geq \min \pi^T b, (1-\epsilon)c - \pi^T A \leq 0, \pi \geq 0$$

$$= \max c^T x, Ax \leq b$$

$$= (1-\epsilon) \max c^T x, Ax \leq b$$

$$= (1-\epsilon) c^T x^*.$$

Alg. Spaltenweitung ϵ (Grötschel, Vance, Schrijver [1989]): Sei PRCE ein

polyedrisches Verfahren zur Lösung von (PRCE) (π). Dann kann (MLP) in polyedrischer Zeit gelöst werden.

Bew.: Anwendung der Ellipsoidmethode auf das duale MLP

$$\max \pi^T b, \pi^T A \geq c^T, \pi \geq 0.$$

Alg.: Branch & Bound

Input: MLP, Branching-Regel β

Output: $x^* \in \text{argmax MLP}$

1. $Q \leftarrow \{\text{MLP}\}$, $v^* \leftarrow -\infty$;

2. while $Q \neq \emptyset$ {

3. - wähle $\text{MLP}' \in Q$

4. if $Q \leftarrow Q \setminus \text{MLP}'$

5. $x' \leftarrow \text{argmax MLP}'$;

6. + if $(x' \in \mathbb{Z}^n)$, $\{Q \leftarrow Q \cup \beta(\text{MLP}', x')\}$

7. else if $(c^T x' > v^*)$ $\{v^* \leftarrow c^T x', x^* \leftarrow x'\}$

8. }

Prop.: Da Alg. B&B ist

komplett und endlich.

Bew.: $|\text{MLP}'^{-1}| < \infty$ und

$|\text{MLP}''^{-1}| < |\text{MLP}'^{-1}| \quad \forall \text{MLP}'' \in \beta(\text{MLP}', x')$

Def.: Zu graph $G=(V,E)$ mit

$V = \{\text{MLP}' \in Q\}$,

$E = \{(u,v) : v \in \beta(u, x)\}$

heißt Branch & Bound-Baum.

Sei D folgen (RMLP, PRICE)

$$\pi^* \leftarrow \operatorname{argmin}_{\pi} \pi^T b, \pi^T A_j \geq \bar{c}_j, \pi \geq 0 \quad (\text{RLP})$$

$$j^* \leftarrow \operatorname{argmax}_{j \in U} c_j - \pi^{*T} A_j = \bar{c}_j \quad (\text{PRICE}) (\pi)$$

if $\bar{c}_{j^*} > 0$ then $J \leftarrow J \cup \{j^*\}$

return (π^*, U^*) ;

do $\{ \text{follow (RMLP, PRICE)} \}$ while $\bar{c}_{j^*} > 0$;

$x^* \leftarrow \operatorname{argmax}$ RMLP
return x^* ;

Lemma (IGL Bound): Sei $\epsilon > 0$
wird PRICE ein approx. Wert
von Lösung von (PRICE) π , d.h.
für den Wert π von PRICE gilt:
 $\max_{j \in U} (1-\epsilon)c_j - \pi^T A_j > 0$
 $\Rightarrow \max_{j \in U} c_j - \pi^T A_j > 0$

Dann gilt für die $x_\epsilon = \operatorname{argmax}$ (RMLP, ϵ -PRICE) im Vergleich zu $x^* = \operatorname{argmax}$ RMLP:
Bsp.: $c^T x_\epsilon \geq (1-\epsilon) c^T x^*$
Bsp.: $c^T x_\epsilon = \pi_\epsilon^T b$, π_ϵ die zu x_ϵ gel. Lösung
es gilt $(1-\epsilon)c_j - \pi_\epsilon^T A_j \leq 0 \forall j \in U$
d.h. π_ϵ ist dual zul. für
 $\max_{x \in S} (1-\epsilon)c^T x$ $x \in S$ \Rightarrow Wert \geq
gilt $\pi_\epsilon^T b \geq (1-\epsilon)c^T x^*$

Lemma: Alg. Spalten erzeugung ist korrekt und endlich

Proof: Die Anzahl der Spalten des linear-Programms ist endlich

Def.: Sei

$$(MIP) \max c^T x, Ax \leq b, x \in \mathbb{Z}^n \quad (MLP) \max c^T x, Ax \leq b \text{ u.w.}$$

$$MIP^{-1} = \{x : Ax \leq b, x \in \mathbb{Z}^n\} \quad MLP^{-1} = \{x : Ax \leq b\} \text{ u.w.}$$

$$(\beta, b)(MIP) = \{(MIP, \beta x \leq b) : \beta x \leq b \in \beta x \leq b\}$$

a) Sei Abb. $\beta : (\beta, b)(MIP) \times MLP^{-1} \rightarrow \mathbb{Z}$

Branching-Regel für MIP, was gilt:

- i) $(MIP)^{-1} \neq (MIP)^{-1} \forall MLP' \in (\beta, b)(MIP), MLP'' \in \beta(MIP', x'), x' \in MLP'^{-1}$
- ii) $\cup (MIP'')^{-1} = (MIP)^{-1} \forall MLP' \in (\beta, b)(MIP), x' \in MLP'^{-1}$
- iii) $\cup (MIP'')^{-1} \neq x' \forall MLP' \in (\beta, b)(MIP), \exists x' \in MLP'^{-1}$
- iv) $\exists \beta : (MIP'')^{-1} = (MIP)^{-1} \forall MLP' \in \beta(MIP', \cdot)$

Def.: Sei Alg. PRICE heißt kompatibel zu einer Branching-Regel β für MLP, falls PRICE das Pricing-Problem zu RMLP' für jedes $MLP' \in \beta(MIP)$, kein Löser kann.

Alg.: Branch & Price (Gilmore & Gomory [1961], Dantzig, Johnson, Nemhauser, Savelsbergh, Vance [1994])

Imp.: RMLP
b Branching-Regel
PRICE mit β kompatibles Pricing-Orakel
out: argmax MIP

b) wir schreiben

$$\beta(\text{MLP}'_1, x') = \text{MLP}'_1 : \forall \beta'' x \leq b'' \setminus \exists \lambda \in b' , \\ \text{MLP}'' \in \beta(\text{MLP}'_1, x')$$

Def: $Q \subseteq \mathcal{Q}$ (B.b) (RMLP)

$Q \leftarrow \{RMLP\}$

while $Q \neq \emptyset$ {

 wähle RMLP $\in Q$

$Q \leftarrow Q \setminus \{RMLP\}$

$x \leftarrow \text{argm} (RMLP, \text{PRICE})$

 if $(x \in \mathcal{Z}^u \wedge \bar{c}^T x > \bar{c}^T x^*) \{ x^* \leftarrow x; \}$

 else if $(x \notin \mathcal{Z}^u \wedge \bar{c}^T x > \bar{c}^T x^*) \{ Q \leftarrow Q \cup \{b(RMLP, x^*)\}; \}$

}

Exp. a) MUP

(IP) $\max \bar{c}^T x, \sum_{k \in M} x_{pk} \leq 1 \forall i, \sum_i w_i x_{zi} \leq d_k \forall k, x \in [0, 1]^n$

(MIP) $\max \sum_{p \in P} c_{pk} \lambda_{pk}, \sum_{p \in P} \lambda_{pk} \leq 1 \forall i, \sum_{p \in P} \lambda_{pk} = 1 \forall k, \lambda_{pk} \in [0, 1]$

(RMLP) $\max \sum_{p \in P} c_{pk} \lambda_{pk}, \sum_{p \in P} \lambda_{pk} \leq 1 \forall i, \sum_{p \in P} \lambda_{pk} = 1 \forall k, \lambda_{pk} \geq 0$

$b(RMLP, x^*) : \lambda_{pk} = 0 \vee \lambda_{pk} = 1$ für $\lambda_{pk} \in (0, 1)$

PRICE $(\pi, \mu) : \max_{p \in P} c_{pk} - \sum_{p \in P} \pi_i - \mu_k \forall k$
 $= \max_{p \in P} \sum_{p \in P} (c_{pk} - \pi_i) - \mu_k \forall k$
 $= \max_{p \in P} \sum_{p \in P} \bar{c}_{ki} - \mu_k, \sum_{p \in P} w_i \leq d \forall k$

Annotations:
 - "Branching auf einem Item"
 - Kompatibel (Fixieren des Items i in Ausgangsproblem)
 - Knappe - Problem
 - "const f. festes k"

b) u-ATSP

(RMLP) $\min \sum_{i=1}^u \sum_{j \in E_i} \lambda_{ij} c_{ij}, - \sum_{i=1}^u \sum_{j \in E_i} \lambda_{ij} y_{ij} (S^+(u)) \geq -1 \forall v, \sum_{j \in E_i} \lambda_{ij} = 1 \forall i, \lambda \geq 0$

(PRICE) $\min_{j \in E_i} c_{ij} - \sum_{j \in E_i} -\pi_v - \mu_i \forall i$

$T_b = 0$
 $= \min_{j \in E_i} \sum_{j \in E_i} c_a + \sum_{j \in E_i} \pi_v - \mu_i \forall i$

$T_a = -\pi_a, a = uv$
 $= \min_{j \in E_i} \sum_{j \in E_i} (c_a + \pi_a) - \mu_i \forall i$

$= \min_{j \in E_i} \sum_{j \in E_i} \bar{c}_a - \mu_i \forall i$

$b(RMLP, \lambda^*) : \lambda_{ij} = 1 \forall e_j \ni j \ni a \vee \lambda_{ij} = 0 \forall i' + i, j \ni a, \forall e_i \ni j \ni a$

c) CSP

(RMLP) $\min \lambda_{cp}, - \sum \lambda_{wp} \geq -d, \sum x_p = 1, \lambda \geq 0$

(PRICE) $\min c_p - (-\pi w_p) - \mu = \min c_p + \pi w_p - \mu$

$= \min \sum_{p \in A} (c_a + \pi w_a) - \mu$ Jobshop-Weg-Problem (38)

b(EMLP, x^*): $\lambda_p = 1 \ \forall p \ni a \ \vee \ \lambda_p = 0 \ \forall p \nexists a$ "Banding and Jokers a"

Beweis: Sei $u \in \mathbb{R}^m$ und $w \in \mathbb{R}^n$ und u, w sind die Daten

$\min c^T x, Ax \leq u, x \geq 0, x \in \{0,1\}^{m \times n}$

$\Leftrightarrow \min \sigma^T x, Ax + IS = u, \lambda, s \geq 0$

$\Leftrightarrow \min \sigma^T x', A'x' = u, x' \geq 0$

z.B. EMLP ist äquivalent zu einem Set-Partitioning-LP

Satz (Ryan & Foster [1981]): Sei $A \in \{0,1\}^{m \times n}$ mit $A_i \neq A_j \ \forall i,j$ (keine doppelten Spalten) und $0 \leq x \leq 1, x \in \mathbb{Z}^n$ mit $Ax = u$. Dann gibt es

$i, j \in \{1, \dots, n\}$ und $v, s \in \{1, \dots, m\}$ mit $0 < x_i, x_j < 1$ und

$\begin{pmatrix} a_{vi} & a_{vj} \\ a_{si} & a_{sj} \end{pmatrix} = \begin{pmatrix} 1 & 1 \\ 0 & 1 \end{pmatrix}$

Beweis: Wähle $0 < x_i < 1$.

1. Fall: $A_i = u$. $\exists j: 0 < x_j < 1, A_j \neq u$ ✓

0. Fall: $A_i \neq u$. O.B.d.A. sei $A_i = \begin{pmatrix} 1 \\ \vdots \\ 1 \\ \vdots \\ 1 \end{pmatrix}$, wobei $A_{vi} = 1, \exists j: 0 < x_j < 1, a_{vj} = 1$.

$\begin{pmatrix} a_{vi} & a_{vj} \\ a_{si} & a_{sj} \end{pmatrix} = \begin{pmatrix} 1 & 1 \\ 1 & 1 \end{pmatrix} \ \forall 1 \leq v \leq 2$
 $\begin{pmatrix} a_{vi} & a_{vj} \\ a_{si} & a_{sj} \end{pmatrix} = \begin{pmatrix} 1 & 1 \\ 0 & 0 \end{pmatrix} \ \forall 2 \leq v \leq m$ } $\Rightarrow A_i = A_j$ ✗

Def. Constraint-Freisetzung-Regel für Set-Partitioning-Probleme (Ryan & Foster [1981]):

b($c^T x, Ax = u, x \geq 0; x^*$): $\sum_{j \in A_i \cap A_j} x_j = 1 \ \vee \ \sum_{j \in A_i \setminus A_j} x_j = 0, \begin{pmatrix} a_{vi} & a_{vj} \\ a_{si} & a_{sj} \end{pmatrix} = \begin{pmatrix} 1 & 1 \\ 0 & 1 \end{pmatrix}, 0 < a_{ij} < 1$

Beweis: Die Ryan & Foster-Regel ist wohldefiniert, weil das Einsetzen des Bindungs-Constraints nicht aus der Klasse der Set-Partitioning-Probleme hinausführt.

Bsp. (Kadibändelungsprobleme): Sei \mathcal{P} eine Menge von Teilmengen in einem

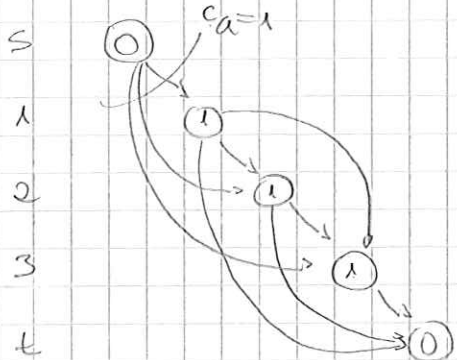
Diagramm $D = (U, \mathcal{P})$ und (MLP) $\min \sum_{p \in \mathcal{P}} c_p x_p, \sum_{p \in \mathcal{P}} x_p = 1 \ \forall i \in U, x \geq 0$.

b(MLP, x^*): $\sum_{p \ni j} x_p = 1 \ \vee \ \sum_{p \ni j} x_p = 0$ "Banding and Jokers j"
ist eine spezielle Version der Ryan & Foster-Regel.

Beweis: $\sum_{j \in A_i \cap A_j} x_j = 1 \Leftrightarrow \sum_{j \in A_i \setminus A_j} x_j = 0$. Die Ryan & Foster-Regel kann damit über Elimination von Spalten implementiert werden.

3p. (Pfadüberdeckung)

(MLP) $\min \sum_{p \in \mathcal{P}} c_p x_p, \sum_{p \in \mathcal{P}} x_p = 1, x_p \geq 0$
 (PRICE) $\min c_p - \sum_{p \in \mathcal{P}} \pi_v = c_p - \tau_p \leq 0$



0	0	0	1	1	1	0	$-\pi$	$-c_p$	0	0	1	-3	1
1	1	1	1	1	1	1	1	1	1	1	1	1	1
1	1	1	1	1	1	1	1	1	1	1	1	1	1
1	1	1	1	1	1	1	1	1	1	1	1	1	1

0	-1	-1	1	0	0	0	-1	-2	1	-1	0	-1	0	1	0	0	0	-1	-2
1	1	1	1	1	1	1	1	1	1	1	1	1	1	1	1	1	1	1	1
-1	1	1	1	1	1	1	1	1	1	1	1	1	1	1	1	1	1	1	1
1	1	1	1	1	1	1	1	1	1	1	1	1	1	1	1	1	1	1	1

$-\frac{1}{2}$	$-\frac{1}{2}$	$-\frac{1}{2}$	$\frac{1}{2}$	$\frac{1}{2}$	$\frac{1}{2}$	$\frac{1}{2}$	0	0	0	$\frac{1}{2}$	$\frac{1}{2}$	$\frac{1}{2}$	$\frac{1}{2}$	$\frac{1}{2}$	$\frac{1}{2}$	$\frac{1}{2}$	$\frac{1}{2}$	$\frac{1}{2}$	$\frac{1}{2}$
$\frac{1}{2}$	$\frac{1}{2}$	$\frac{1}{2}$	$-\frac{1}{2}$	$-\frac{1}{2}$	$-\frac{1}{2}$	$-\frac{1}{2}$	1	0	0	1	1	1	1	1	1	1	1	1	1
$-\frac{1}{2}$	$-\frac{1}{2}$	$-\frac{1}{2}$	$\frac{1}{2}$	$\frac{1}{2}$	$\frac{1}{2}$	$\frac{1}{2}$	0	1	0	1	1	1	1	1	1	1	1	1	1
$\frac{1}{2}$	$\frac{1}{2}$	$\frac{1}{2}$	$-\frac{1}{2}$	$-\frac{1}{2}$	$-\frac{1}{2}$	$-\frac{1}{2}$	0	0	1	1	1	1	1	1	1	1	1	1	1
$\frac{1}{2}$	$\frac{1}{2}$	$\frac{1}{2}$	$\frac{1}{2}$	$\frac{1}{2}$	$\frac{1}{2}$	$\frac{1}{2}$	1	2	3	4	5	6	7	8	9	10	11	12	13

optimal $\begin{pmatrix} 1 & 1 & 0 & 1 \\ 1 & 1 & 1 & 0 \\ 1 & 0 & 1 & 1 \end{pmatrix} \begin{matrix} v \\ s \end{matrix}$

$\sum_{p \in \mathcal{P}} x_p = x_4 = 1$

0	0	0	0	1	1	1	1	1	0	1	1	1	1	1	1	1	1	1	1
1	1	1	1	1	1	1	1	1	1	1	1	1	1	1	1	1	1	1	1
1	1	1	1	1	1	1	1	1	1	1	1	1	1	1	1	1	1	1	1
1	1	1	1	1	1	1	1	1	1	1	1	1	1	1	1	1	1	1	1

0	0	-1	-1	1	1	0	0	0	-2	1	0	1	0
1	1	1	1	1	1	1	1	1	1	1	1	1	1
1	1	1	1	1	1	1	1	1	1	1	1	1	1
1	1	1	1	1	1	1	1	1	1	1	1	1	1

$\Rightarrow x^* = (0, 0, 1, 1, 0, 0)$
 optimal

$\sum_{p \in \mathcal{P}} x_p = x_4 = 0$

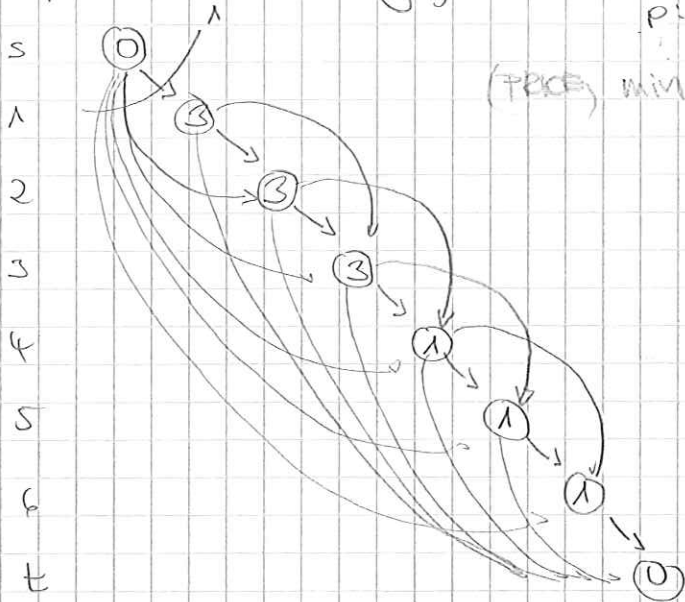
0	0	0	0	1	1	1	1	1	0	1	1	1	1	1	1	1	1	1	1
1	1	1	1	1	1	1	1	1	1	1	1	1	1	1	1	1	1	1	1
1	1	1	1	1	1	1	1	1	1	1	1	1	1	1	1	1	1	1	1
1	1	1	1	1	1	1	1	1	1	1	1	1	1	1	1	1	1	1	1

0	-1	0	-1	1	0	1	0	1	0	-2	1	1	1	1	1	1	1	1	1
1	1	1	1	1	1	1	1	1	1	1	1	1	1	1	1	1	1	1	1
1	1	1	1	1	1	1	1	1	1	1	1	1	1	1	1	1	1	1	1
1	1	1	1	1	1	1	1	1	1	1	1	1	1	1	1	1	1	1	1

$\Rightarrow x^* = (0, 1, 0, 0, 0, 1)$
 optimal

IP. (Radikalisierung) : (KIT) $\min \sum_{p \in P} c_p x_p$, $\sum_{p \in P} x_p = 1$, $x \geq 0$
 $P = \{w_p \leq 8, p \in \{1, \dots, 6\}\}$

(PRC) $\min C_p - \sum_{p \in V} \pi_V = \min 1 - \pi_p \stackrel{!}{\leq} 0$



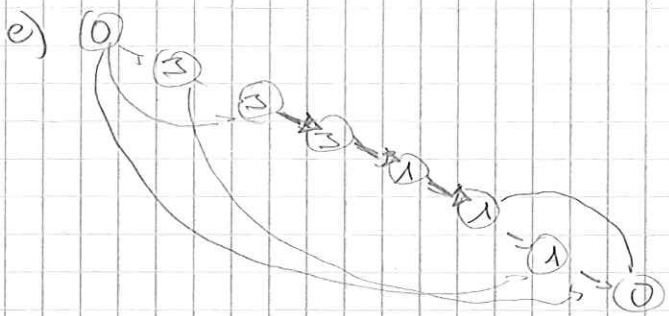
C	0	0	0	0	0	0	1	1	1	1	1	1	0
A	1						1						1
		1						1					1
			1						1				1
				1						1			1
					1						1		1
						1						1	1

$-\pi$													
	-1	-1	-1	-1	-1	-1	0	0	0	0	0	0	0
	1						1						1
		1						1					1
			1						1				1
				1						1			1
					1						1		1
						1						1	1

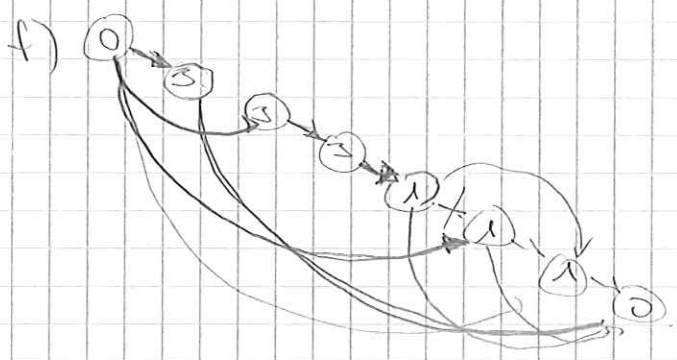
	2	-1	-1	-1	-1	-1	3	0	0	0	0	0	0	0	-3	-3	1
	1						1								1	0	1
	-1	1					-1	1							0	0	1
			1						1						0	1	1
	-1			1			-1			1					0	0	0
	-1				1		-1				1				0	1	6
						1						1			1	0	1
							2	3	4	5	6	7					

	-1	2	-1	-1	-1	-1	0	3	0	0	0	0	0	0	0	0	-3	-3	1
	1						1								1	0	1	1	1
	-1	1					-1	1							0	1	-1	0	0
			1						1	-1					0	0	2	1	1
	-1			1			-1				1				0	0	0	0	1
	0	-1			1		0	-1				1			0	0	0	0	0
	1	-1				1	1	-1					1		0	2	2	1	1
														3	4	5	6	7	8

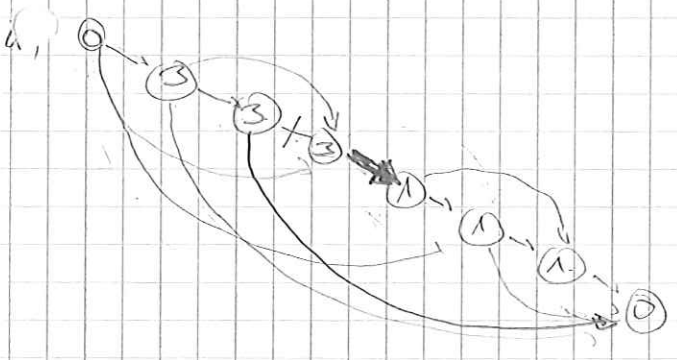
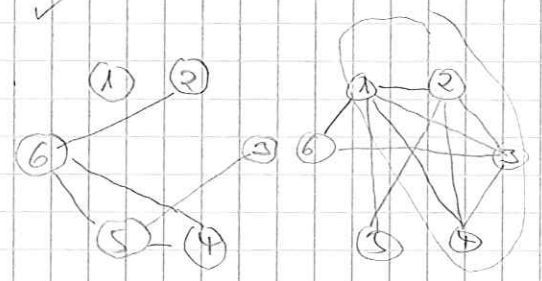
UWU,



λ	λ	λ
λ		
	λ	
	λ	
	λ	
	λ	
		λ

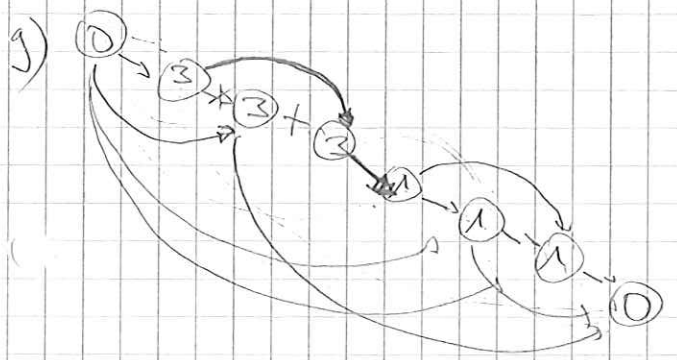


λ	λ	λ	λ	λ	λ
λ					
	λ				
	λ				
	λ				
		λ			
			λ		
				λ	
					λ

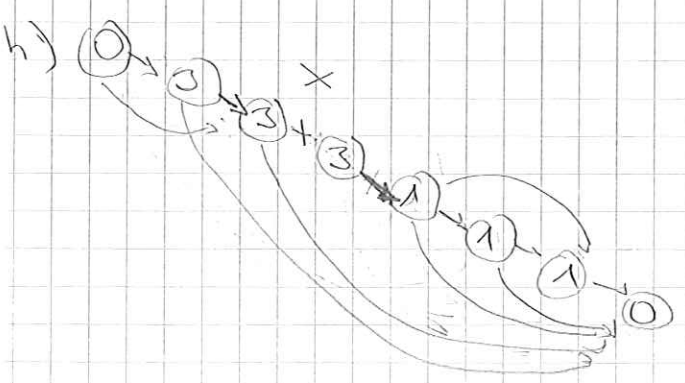
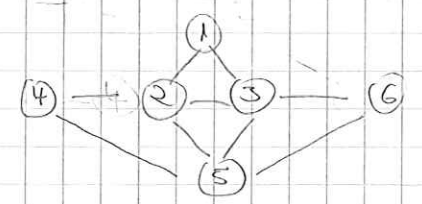


λ	λ	λ	λ	λ	λ	λ	λ	λ	λ	λ	λ	λ
λ												
	λ											
		λ										
			λ									
				λ								
					λ							
						λ						
							λ					
								λ				
									λ			
										λ		
											λ	
												λ

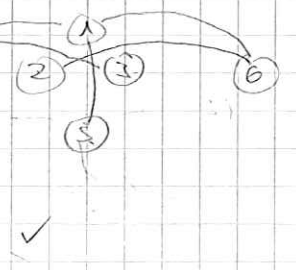
$= X(p > 13) = 1 g$
 $= 1 (p < 13) = 0 h$

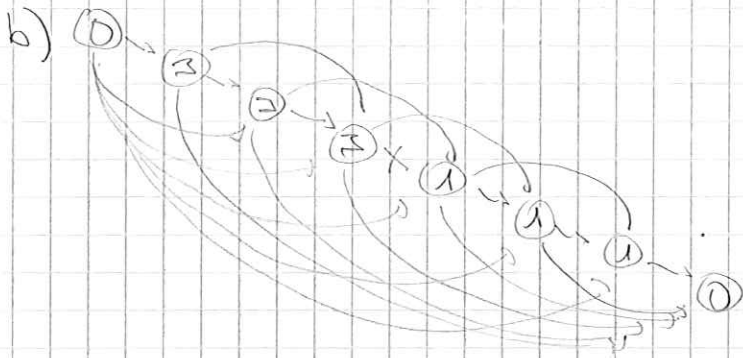


λ	λ	λ	λ	λ	λ	λ	λ
λ							
	λ						
		λ					
			λ				
				λ			
					λ		
						λ	
							λ

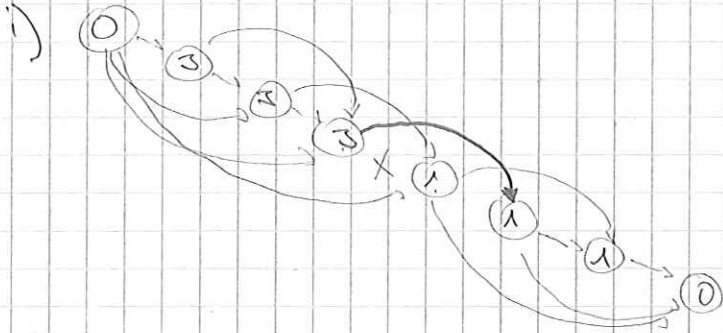


λ	λ	λ	λ	λ	λ	λ	λ	λ	λ
λ									
	λ								
		λ							
			λ						
				λ					
					λ				
						λ			
							λ		
								λ	
									λ



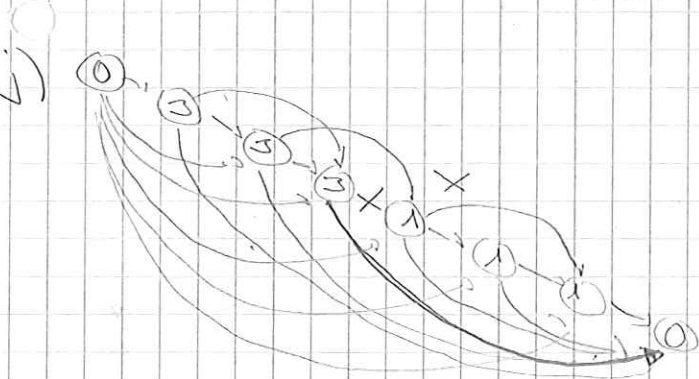


$$\begin{aligned} x(p=35) &= 1 \\ x(p=37) &= 0 \end{aligned} \quad \left. \vphantom{\begin{aligned} x(p=35) \\ x(p=37) \end{aligned}} \right\}$$



1	1	1	1	1	1	1	1	1	1	1	1	1	1	1	1	1
1	1	1	1	1	1											
	1	1	1			1	1	1	1	1						
			1	1		1	1				1	1				
				1	1					1	1					
				1	1					1	1					

≥ 2



1	1	1	1	1	1	1	1	1	1	1	1	1	1	1	1	1
1	1	1	1	1	1											
	1	1	1			1	1	1	1	1						
				1	1						1					
				1	1						1	1				
				1	1						1	1				

≥ 2

Def. Strong Branching (Fixby [?]): Sei (MLP) mit $ax, x \geq b, x \in \mathbb{Z}^n$ und b_1, \dots, b_k Branching-Regeln für MLP mit $b_i(\text{MLP}, x^*) = \{ \text{MLP}_i^1(x^*), \text{MLP}_i^2(x^*) \}$.

Sei $v_i^1 = \min \text{MLP}_i^1(x^*), v_i^2 = \min \text{MLP}_i^2(x^*), v_i^3 = \min \{v_i^1, v_i^2\}, i=1, \dots, k$
 v_i^1, v_i^2 heißen Problem-Werte bzgl. b_i .
 $b(\text{MLP}, x^*) = \max_{i=1, \dots, k} v_i^3(\text{MLP}, x^*)$ Strong Branching bzgl. b_1, \dots, b_k

Bem.: In der Praxis verwendet man häufig auch Abschätzungen für v_i^1 und v_i^2 . In Spaltengen. Verfahren verwendet man z.B. nur einige Spalten
 muss es, bei statischen Problemen macht man nur einige Pivotoperationen.

Ins.: In der Praxis ist es wichtig, Branching durch Preprocessing zu verkürzen.

Netzwerke

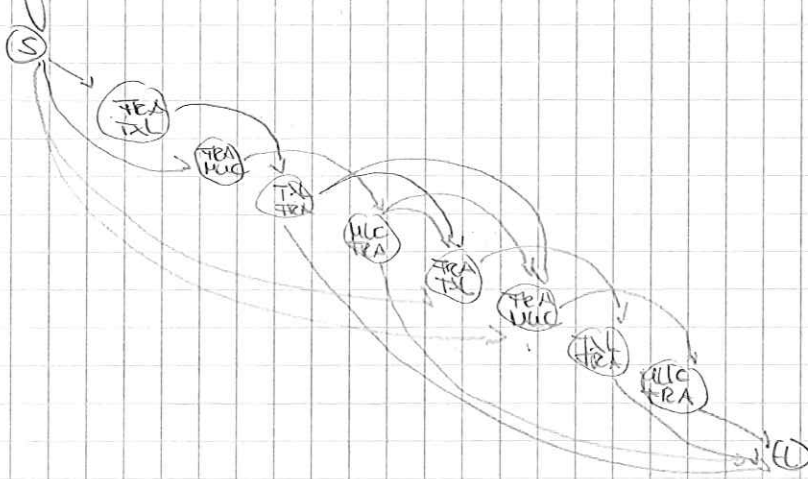
Bsp.: Airline Crew Scheduling

- \mathcal{A} Menge von Fliegern
- $\mathcal{F} = \{1, \dots, m\}$ Menge von Flügen (legs)
- $o(i)/d(i) \in \mathcal{A}$ Start- / Zielflughafen von Flug $i \in \mathcal{F}$
- $s(i)/t(i)$ Abflug- / Ankunftszeit von Flug $i \in \mathcal{F}$
- \mathcal{R} Regeln zur Bildung von Flugbesetzen (Pairings)

\mathcal{P} : Deterministische Menge von Pairings, die alle Flüge mind. einmal besetzen

Def.: $\mathcal{R} \in \mathcal{A}$ Menge von Fliegern, an denen ein Pairing beginnen kann (Homebase)

a) dig-on-node-Netzwerk



$\mathcal{A} = \{FRA, TXL, MUC\}$

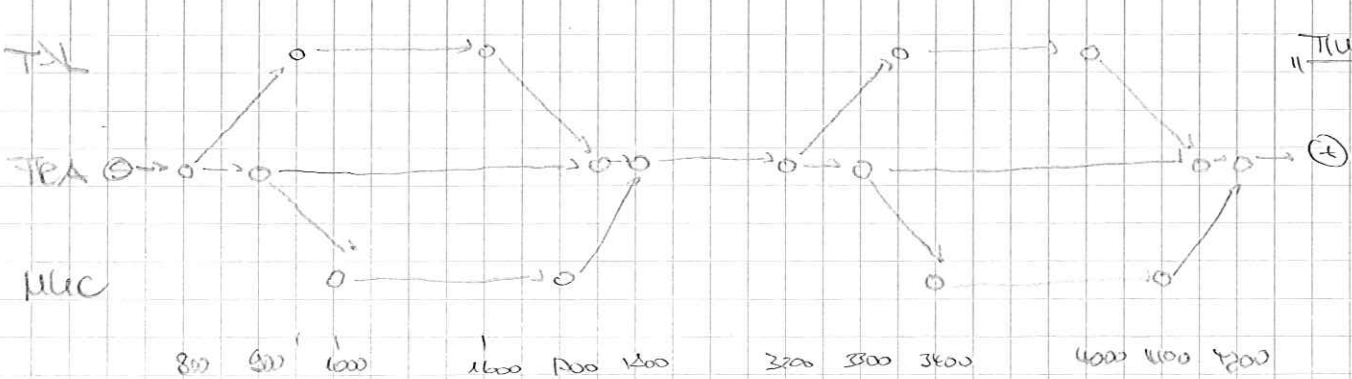
$\mathcal{R} = \{FRA\}$

$\mathcal{F} = \{1, \dots, 8\}$

	α	s	t
1	FRA TXL	800	950
2	FRA MUC	900	1000
3	TXL FRA	160	170
4	MUC FRA	1700	1800
5	FRA TXL	3200	3300
6	FRA MUC	3300	3400
7	TXL FRA	4000	4100
8	MUC FRA	4100	4200

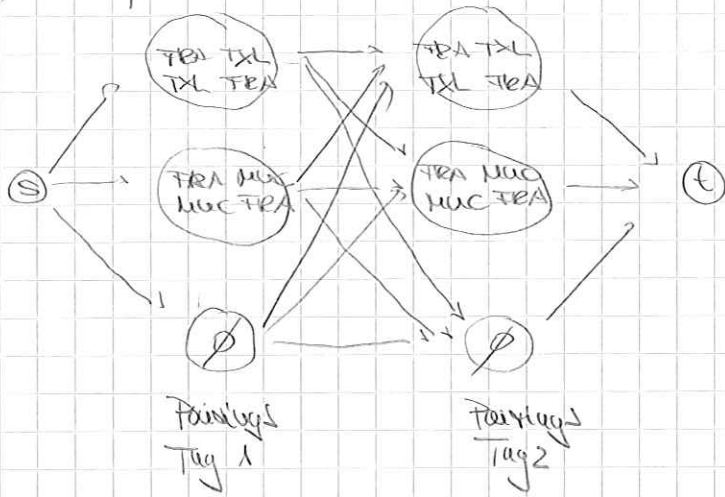
b) dig-on-arc-Netzwerk

\mathcal{R} Menge auswertigen Ursprungs



"Timeline"

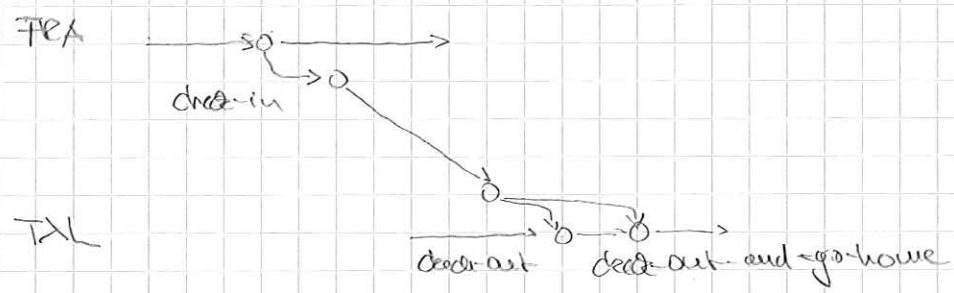
c) July-Period-Network



Info. i	Log-on-Node	Log-on-Auc	July-Period
V	$O(V)$	$O(V)$	$O(2^{ V })$
A	$O(V ^2)$	$O(V)$	$O((2^{ V })^2)$
Vorteil	genaue Kontrolle über Folgeknoten	geringer Speicherplatzbedarf	Replik zur Bildung von Tapes draussen erlaubt, Restregeln häufig linear!
Nachteile	schon viele Inst. insb. bei Größe von Transparenzüberwachungen usw.	Kontrolle über Folgeknoten unpräzise	sehr groß, dynamische Veränderung erforderlich

Bsp. (Falschierung)

d) Ergänzungselemente



e) Ideen - Flugkämpfe mit eigenen und fremdfliegern, Überwachungen, et. Periodizität

f) Techniken zur Behandlung großer Netzwerke:

Best-availables (Ryan): beachte nur 2-3 aussichtsreichste Nachfolger pro Knoten

Aggregation (Derosiers et al.): temporäre Fixpunkte wieder auflösen nach Verbindungen

15: Lineare Programm

15.1 Def. (Lineare Programmproblem):

geg: $N = (V, E)$

$V_L \subseteq V = E_L \cup E_U$

$V_0 = V$

$E_L \subseteq E$

$E_U \in E$

L

$F \subseteq \mathbb{N}_0 / \mathbb{Q}_{\geq 0}$

$d_e \in \mathbb{Q}_{\geq 0}$

$c_0, c_e \in \mathbb{Q}_{\geq 0}$

$f_e = c_0 + \sum_{v \rightarrow v'} f_{e'} c_{e'}$

$D \in \mathbb{Q}_{\geq 0}^{V_0 \times V_0}$

$G = (V, A)$

$A = A(E) \cup A'(E) = \{a(e) = av : e = uv \in E\} \cup \{a'(e) = av : e = uv \in E\}$
 entsprechend: $e(a) = e, a'(e) = e, A_L$ usw.

T_{st}

$P := \bigcup P_{st}$

$T_a \in \mathbb{Q}_{\geq 0}$

$T_p := \sum_{a \in P} T_a$

$x_p \in [0, d_{st}]$ Passagierfluss auf st-Route $p \in P_{st}$

$\sum_{p \in T_{st}} x_p = d_{st} \quad \forall st$ Nachfragebedingungen (1)

$f_e \in E$ Fluss / Lineare Programm

$L = \{e \in E : f_e > 0\}$

$\sum_{p \in P} x_p \leq \sum_{e \in A} f_e c_e \quad \forall a \in A$ Kapazitätsbedingungen (2)

$x := \sum_{p \in P} T_p x_p$ Gesamtwert

$c_f = \sum_{e \in E} c_e f_e$ Gesamtkosten

$\lambda c_f + (1-\lambda) c_x$ Gesamtwert

Min $\lambda c_f + (1-\lambda) c_x$ Lineare Programmproblem

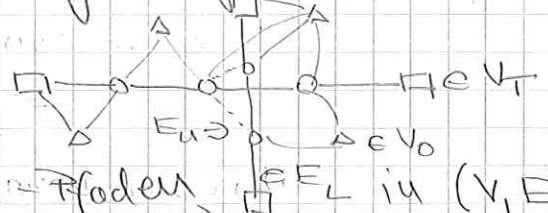
Infrastruktur (Parameter)

Mögliche/erlaubte Linien

Quellen u. Ziele von Nachfrage (Origin-Destination-Knoten)

Linienbauteile

Geradenbauteile



Menge von $(V \times V)$ -Paaren (mögliche Linien, Ungerichtet)

Menge von möglichen Liniensequenzen

Kapazität von Linie $l \in L$

Fixkosten und variable Kosten für Linie $l \in L$

Kosten für den Fahrt von Linie $l \in L$ mit Frequenz

Quelle/Ziel- (Nachfrage-) Matrix (OD-Matrix)

(Passagier) Routing Diagramm (gerichtet)

$a(e) = av : e = uv \in E$ / $a'(e) = av : e = uv \in E$

Menge von st-(Passagier)-Routes $in \Rightarrow d_{st} > 0$

Reiszeit auf Route $a \in A$

" " st-Route $p \in T_{st}$

Passagierfluss auf st-Route $p \in T_{st}$

Nachfragebedingungen (1)

Fluss / Lineare Programm

$L = \{e \in E : f_e > 0\}$

$\sum_{p \in P} x_p \leq \sum_{e \in A} f_e c_e \quad \forall a \in A$ Kapazitätsbedingungen (2)

$x := \sum_{p \in P} T_p x_p$ Gesamtwert

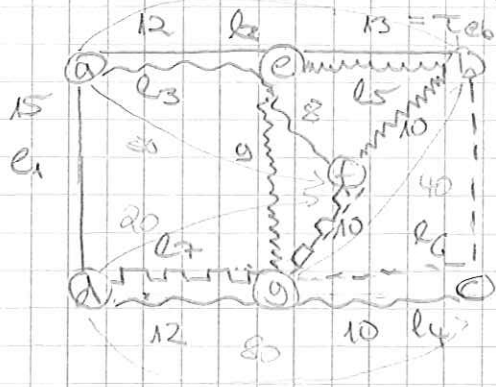
$c_f = \sum_{e \in E} c_e f_e$ Gesamtkosten

$\lambda c_f + (1-\lambda) c_x$ Gesamtwert

Min $\lambda c_f + (1-\lambda) c_x$ Lineare Programmproblem

x: (1) $f_e = c_0 + \sum_{v \rightarrow v'} f_{e'} c_{e'}$
 (2) $\sum_{p \in P} x_p \leq \sum_{e \in A} f_e c_e$
 Passagierfluss / Lineare Programm

15.2 ISp (Dinuplanungsproblem (Kortbein [2012])):



st	50
af	50
ab	50
df	20
dc	80
gb	40

$$V = \{1, 2\} = V_0, L = \{e_1, \dots, e_7\}$$

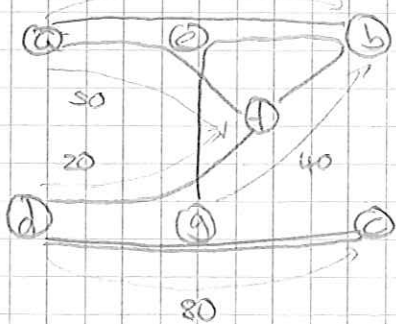
$$A_T = \{w : v \in V\}$$

$$T_a = 5 \quad \forall a \in A_T$$

$$F = \{0, 1, 2\}, x = 50$$

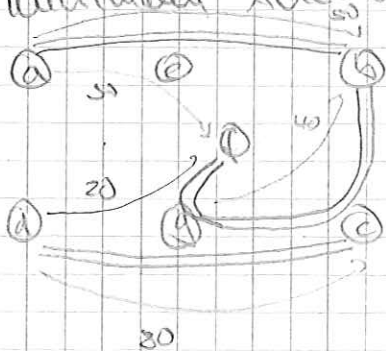
a) $f^0 = (2, 1, 2)$ ist ein zulässiges Dinuplan, denn (f^0, x^0) mit $x_{aef}^0 = x_{aeb}^0 = 50, x_{dfe}^0 = 20, x_{dgc}^0 = 80, x_{gfb}^0 = 40$ ist zulässig.

b) $f^1 = (0, 1, 1, 2, 1, 0, 1)$ ist ebenfalls ein zulässiges Dinuplan, denn (f^1, x^0) erfüllt (2)



x^0 realisiert minimale Personenkilometer und eine minimale Anzahl an Umstiegen

c) $f^2 = (0, 2, 0, 0, 0, 2, 2)$ ist ein zulässiges Dinuplan mit einer minimalen Anzahl an Dinuplan. Beachte die Verwendung der Kapazität von Linie e_6 auf Kannte gf in beiden Richtungen!



15.3 TcL (Survival Connectivity Problem): Für

$$V_0 = \{T\} \text{ Terminals}$$

$$dst = 1 \quad \forall x \in T \times T$$

$$T \equiv 0$$

$$x \equiv \infty$$

$$F = \{0, 1\}$$

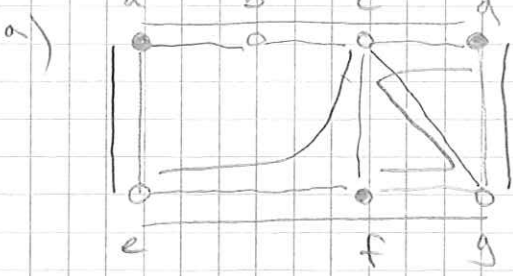
$$C_0 = 0$$

d.h. wenn wir Ressourcen und Kapazitäten (und damit auch Frequenzen) ignorieren, müssen die Terminals paarweise untereinander verbunden werden. Dieser Fall nennt man Survival

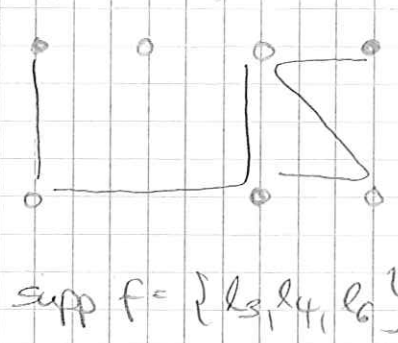
Wir identifizieren in beiden Fällen Dinupläne $f \in \{0, 1\}^L$ und $\text{supp } f \subseteq L$

(Connectivity Problem (SCP)) kein noch wichtiger Spezialfall eines allgemeinen Dinuplanungsproblems (ISp). $L = A$

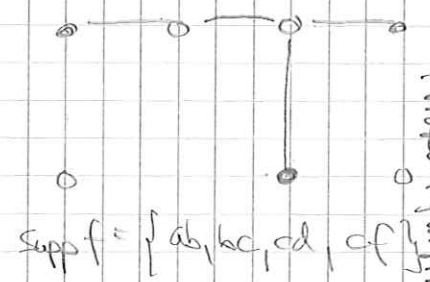
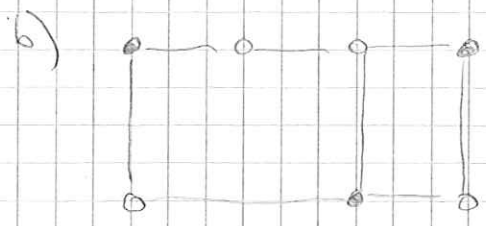
15.4 Prop (Skew Connectivity, und Spannerbaumproblem (BKA [2013])):



- $V_0 = T = \{a, d, f\}$
- l_1 abcd
 - l_2 efg
 - l_3 ae
 - l_4 efc
 - l_5 gd
 - l_6 fgcd



Die Kanten $\{ae, ef, fg\}$ verbinden T .



Die Kanten $\{ab, bc, cd, cf\}$ verbinden T .

15.5 Def. (T-Connecting Set, Spannerbaum):

- a) Sei $G=(V, E)$, $T=V_0 \subseteq V$, $L, C \subseteq E$ ein SCT
- i) $L^* \subseteq E$ zulässig heißt T-Connecting Set
 - ii) $\bar{L} \subseteq E$: $L \cup \bar{L}$ nicht zulässig heißt T-Disconnecting Set
 - iii) Sei $\emptyset \subset W \subset V$: $W \cap T \neq \emptyset$, $T \cap W \neq \emptyset$
- $S_L(W) = \{l \in L : S(W) \cap l \neq \emptyset\}$ T-Pfadschnitt
- b) Sei $G=(V, E)$, $T=V_0 \subseteq V$, $L=E$ ein SCT
- i) $E^* \subseteq E$ zulässig Spannerbaum
 - ii) $E \setminus E^* \subseteq E$: $E \setminus E^*$ nicht zulässig Spannerschnitt (Steinerbaum)

Program von Set-Covering-Typ (Spannerbaum)
 Program von Set-Covering-Typ (Spannerschnitt)

15.6 Prop. (Connecting und Disconnecting Sets): Betrachte

ein SCT (V, E, T, L, C)

a) Die minimalen T-disconnectings sets sind genau die minimalen T-Pfadsschnitte.

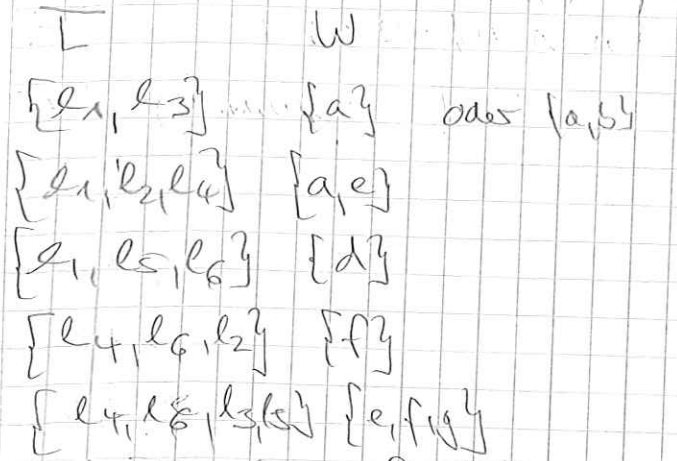
b) Das SCT kann wie folgt als ganzzahliges Programm in vom Set-Covering-Typ formuliert werden:

min $\sum_{e \in E} x_e$

$x(S_L(W)) \geq \frac{1}{L} \quad \forall \emptyset \neq T \cap W \neq T$

Bew.: Übung

15.4 Bsp. (Flussrechnung) a) Es gegeben sei folgende T-Netzwerke:



$\text{min } \sum c_e x_e$

$$\begin{pmatrix} 1 & 0 & 1 & 0 & 0 & 0 \\ 1 & 1 & 0 & 1 & 0 & 0 \\ 1 & 0 & 0 & 0 & 1 & 1 \\ 0 & 1 & 0 & 1 & 0 & 1 \\ 0 & 0 & 1 & 1 & 1 & 1 \end{pmatrix} x \geq \begin{pmatrix} 1 \\ 1 \\ 1 \\ 1 \\ 1 \end{pmatrix}$$
 $x_e \in \{0, 1\}^L$

b) Im Flussbaumfall ergeben sich folgende Flussverläufe:



15.7 Prop. (Komplexität):

- a) Das SCP ist NP-hart, sogar für $T=U$.
- b) Das STP ist NP-hart.

Bew.: a) Übung

b) Polzin [2003], 10

15.8 Alg. (Approximationsalgorithmus für das SCP):

Typ: $G=(V, E)$ zusammenhängend

- L linear
- $c_e \in \mathbb{R}_{\geq 0}^L$ Kosten
- $T \subseteq V$ Terminal

A α -Approximationsalgorithmus für Flussbaumprobleme

Output: T -bedingende Menge L^*

1. für alle $e \in E$
 - $l_e \leftarrow \arg \min \left\{ \frac{c_e}{|e|}, e \in l \in L \right\}$
 - $w_e \leftarrow \frac{c_e}{|e|}$
 - $l_e \leftarrow l$
2. $E^* \leftarrow A(G, T, w)$
3. $L^* \leftarrow L(E^*)$

3

15.9. Satz: Alg. 15.8 ist korrekt und liefert eine Lösung mit

$$c(L^*) \leq k \cdot c(L^{opt})$$

wobei $L^{opt} = \arg\min_{SCP} SCP$ und $k = \max_{e \in L} |e|$.

Bew.: Sei $E^{opt} = \arg\min_{ST} ST(G, T, \omega)$. Dann gilt

$$c(L^{opt}) = \sum_{e \in L^{opt}} c_e = \sum_{e \in L^{opt}} \sum_{e \in L} \frac{c_e}{|e|} \geq \sum_{e \in E(L^{opt})} \omega_e = \omega(E^{opt})$$

$$\Rightarrow c(L^*) \leq \sum_{e \in E^*} c_e = \sum_{e \in E^*} \omega_e |e|$$

$$\leq \sum_{e \in E^*} k \omega_e \leq k \omega(E^{opt}) \leq k c(L^{opt}). \quad \square$$

15.10 Alg. Minimum Spanning Tree Heuristik für Steinerbaumprobleme (Kou, Markowsky, & Barua [1981]):

Input: $G = (V, E)$ zusammenhängender Graph

$c \in \mathbb{Q}_{\geq 0}^E$ Kantenkosten

$T \subseteq V$ Terminalen

Output: Steinerbaum $\gamma \in E$

$$1. G^* \leftarrow (T, \binom{T}{2})$$

$p_{uv}^* \leftarrow \arg\min_{P_{uv}} c(P)$ $\forall u, v \in T$
 $P_{uv} \rightarrow$ Pfad in G

$$c_{uv}^* \leftarrow c(p_{uv}^*)$$

$$2. \gamma^* \leftarrow \text{MST in } (G^*, c^*)$$

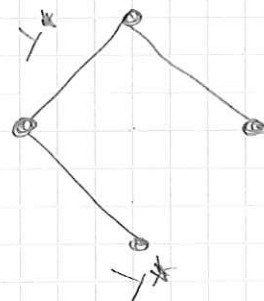
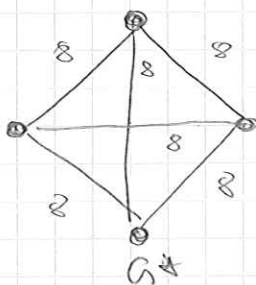
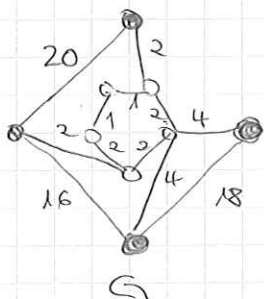
$$H \leftarrow \bigcup_{e \in \gamma^*} E(p_e^*)$$

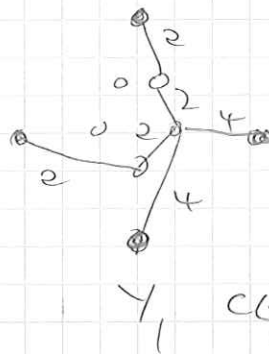
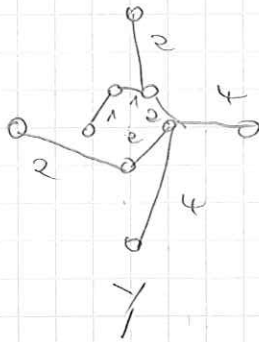
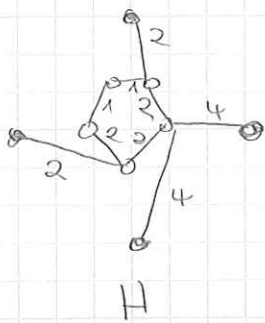
$$3. \gamma \leftarrow \text{MST in } H$$

$$4. \text{while } (\exists \text{ Blatt } v \in V(\gamma) \setminus T) \{$$

lösche v aus γ

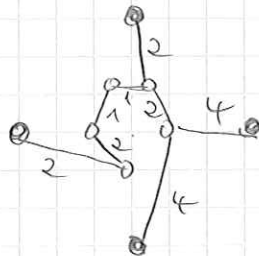
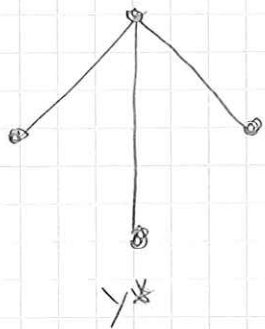
15.11 Bsp:





$c(Y) = 16$

Alternativ:



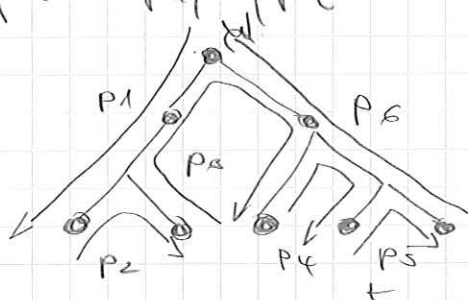
$c(H) = 18$

15.12 Satz: Sei (G, c, T) ein Spannbauproblem.

Sei t die Minimalanzahl an Blättern in einem optimalen Spannbau mit gewicht c_{opt} . Dann gilt für den Output γ von Alg. 15.10:

$$c(\gamma) \leq 2 c_{opt} \frac{t-1}{t} \leq 2 c_{opt}$$

Bew: Wähle irgendeinen Knoten $w \in T$ als Wurzel von γ^* . Wandle von w ausgehend γ^* ab für eine Fehlerbaet entsteht und unterteile diese an den Blättern von γ^* in t Pfade p_1, \dots, p_t :



O.B.d.A. sei $c(p_t) = \max_{i=1}^t c(p_i)$. Dann entspricht jeder Pfad p_i einer Kante $e_i \in E(G^*)$, (e_1, \dots, e_t) ist ein Kreis in G^* , $(e_1, \dots, \hat{e}_i, \dots, e_t)$ ist ein Baum in G^* und $H = E(p_1) \cup \dots \cup E(p_i) \cup \dots \cup E(p_t)$ enthält einen Spannbau γ . Deshalb gilt:

$$c(\gamma) \leq c(H) \leq \sum_{i=1}^t c(p_i) - c(p_t) \leq 2 c_{opt} \left(1 - \frac{1}{t}\right). \quad \square$$

Alg. 15.13: Kürzeste-Peisezeit-Algorithmus (J. Möhring [2013], Möhring [2014])

Input: $N = (V, E)$ Unweighted graph

L V -verbindende Menge von T -Bogen in N (Linien)

$D = (V, A)$ Precedence graph

$A = A(F) \cup A(E)$

$\tau_a = \tau_{\text{earliest}} \geq 0$ Releasezeit auf Bogen $a \in A$

$\text{dist}_e(v_i, v_j) = \sum_{k=i}^{j-1} \tau_{v_k v_{k+1}} \quad \forall v_i, v_j \in (v_1, \dots, v_n) = L \in L$
 Releasezeit von v_i nach v_j auf Linie L

$\sigma \geq 0$ Margezeit

$u(p) = (u_1, \dots, u_p)$ Ein-/Ausgangszeiten in p , d.h.

$p = (u_1, \dots, u_{l_1}, u_{l_2}, \dots, u_{l_{p-1}}, u_{l_p})$ für $l_1, l_2, \dots, l_{p-1} \in L$

$\sigma(p) = u(p) / \sigma$ Margezeit ein-/Ausgangszeit p

$S, O \in V$ Start-/Zielknoten

Output: $p^* \in \text{argmin}_{p \in \text{Pfadgraphen}} \tau(p) + \sigma(p)$

1. $d(s) \leftarrow 0 \quad d(v) \leftarrow \infty \quad \forall s \neq v \in V, \quad p(v) \leftarrow \text{nil} \quad \forall v \in V$

2. $Q \leftarrow \{s\}$ // unbesetzte

3. while $(Q \neq \emptyset)$ {

4. $u \leftarrow \text{argmin}_{v \in Q} d(v)$

5. for all $(u \in l \in L)$ { (*)

6. for all $(v \in l)$ {

7. if $(d(v) > d(u) + \sigma + \text{dist}_e(u, v))$ {

8. $d(v) \leftarrow d(u) + \sigma + \text{dist}_e(u, v)$

9. $p(v) \leftarrow u$

10. $Q \leftarrow v$

11. }

12. }

13. }

14. $p^* = (t, p(t), p^2(t), \dots, s)$.

Satz 15.14: Alg. 15.13 ist korrekt.

Bew.: Induktion über die Anzahl der Umstiege/Stopps

$|\sigma(p^*)|$.

Ind. Auf.: $|\sigma(p^*)| = 1$ Auf dem kürzesten st-Passagiepfad wird nur einmal eingestiegen. Alg. 15.13 findet diesen Pfad beim Durchlaufen der entsprechenden Kante in der Schleife (*).

Ind. Ann.: Alg. 15.13 findet kürzeste st-Passagiepfade mit $|\sigma(p^*)| = k \geq 1$ Umstiegen.

Ind. Schritt: Ann. $|\sigma(p^*)| = k+1$, $u(p) = (u_1, \dots, u_{k+1})$
 $p^* = (u_1, \dots, u_k, \dots, \underbrace{u_{k+1}, \dots, t}_{k+1})$

Nach Ind. Ann. findet Alg. 15.13 den kürzesten

su_{k+1} -Passagiepfad mit k Umstiegen, und

denn beim nächsten Durchlauf von der

Schleife (*) Kante u_{k+1} wird damit p^* . \square